同時多発火災リスク評価手法の研究

三友 信夫*、岡崎 忠胤**、松岡 猛*

Research on the fire risk assessment for multiple and simultaneous fires

by

Nobuo MITOMO, Tadatsugi OKAZAKI and Takeshi MATSUOKA

Abstract

In Japan, frequent earthquakes occur. Actually, we had a very big earthquake "Hanshin Kobe Daishinsai" in 1995, at that time, many people lived there were also struck by secondary disasters, fires, which were caused by this big earthquake. It cannot be ignored that the possibility of accident of a nuclear reactor caused by the loss of safety functions, even if the earthquake is not so strong as surpassing the tolerance of equipment. Then it is necessary to establish the assessment method for the risk of fires caused by earthquakes. The purpose of this research is to establish the assessment method for the fire risk caused by earthquakes by using the ideas of Probabilistic Safety Assessment (PSA). For this purpose, we have set four tasks. In Task 1, we obtained detailed, necessary and sufficient information about earthquakes and fires for the fire risk assessment, because scenario is very important. In Task 2 and 3, two codes, a ignition code and a fire progress analysis code, were developed. The ignition code is the code that assesses equipment damages by earthquakes and its possibility of catching fire. On the other hand, the fire progress analysis code simulates the fire started by this ignition. Especially, we made experiments for the fire progress analysis code. These experiments were good use of verification for parameters. In Task 4, we examined these methods developed in this study with the assessment of a sample plant.

The results of this study will be useful not only for the assessment of nuclear power plants but also for chemical plants, traffic systems etc.

^{*} 海上安全研究領域

^{**} 輸送高度化研究領域

原稿受付 平成17年 1月25日 審 査 済 平成17年 4月 1日

目 次

| 1. はじめに・・・・・・・・・・・・・・・・・・・・・・・・・・・・・・・・・・・・ | |
|---|----|
| 1.1 概要 | |
| 2. 火災リスク評価手法 | |
| 2.1 従来の火災リスク評価手法・・・・・・ | 41 |
| 2.2 同時多発火災リスク評価手法・・・・・ | 43 |
| 3. 地震時機器損傷評価コード・・・・・・・・・・・・・・・・・・・・・・・・・・・・・・・・・・・・ | 43 |
| 3.1 概要 | 43 |
| 3.2 使用方法 ************************************ | 43 |
| 3.3 判定方法 ************************************ | |
| 3.4 使用例 | |
| 4. 火災進展解析コードの開発・・・・・・・・ | |
| 4.1 火災進展解析コード・・・・・・・・・・・・・・・・・・・・・・・・・・・・・・・・・・・・ | |
| 4.2 火災実験 1 *********************************** | 48 |
| 4.2.1 実験概要 ************************************ | 48 |
| 4.2.2 解析コードの検討 | 48 |
| 4.3 火災実験 2 *********************************** | 49 |
| 4.3.1 実験概要 ************************************ | 49 |
| 4.3.2 解析コードの検討 | 50 |
| 4.4 火災実験 3 *********************************** | 51 |
| 4.4.1 実験概要 ************************************ | |
| 4.4.2 解析コードの検討・・・・・・・・・・・・・・・・・・・・・・・・・・・・・・・・・・・・ | |
| 5. サンプルプラント評価・・・・・・・・・・・・・・・・・・・・・・・・・・・・・・・・・・・・ | 64 |
| 5.1 シナリオ・・・・・・・・・・・・・・・・・・・・・・・・・・・・・・・・・・・・ | 65 |
| 5.1.1 地震事例から | |
| 5.1.2 火災事例 | |
| 5.1.3 火災防護指針より | |
| 5.1.4 EPRI Nuclear-Power-Plant | |
| Data より・・・・・・・・・・・・・・・・・・・・・・・・・・・・・・・・・・・・ | |
| 5.1.5 解析対象シナリオ | |
| 5.2 イベント・ツリーの作成 | |
| 5.3 消火活動について | 70 |
| 5.4 解析 *********************************** | 84 |
| 5.4.1 解析条件 ************************************ | |
| 5.4.2 解析結果 ************************************ | |
| 5.4.3 炉心損傷頻度の算出・・・・・・・・・・・・・・・・・・・・・・・・・・・・・・・・・・・・ | |
| 5.5 同時多発火災への対応・・・・・・・・・・・・・・・・・・・・・・・・・・・・・・・・・・・・ | |
| 6. まとめ・・・・・・・・・・・・・・・・・・・・・・・・・・・・・・・・・・・・ | 87 |
| 6.1 得られた知見・・・・・・・・・・・・・・・・・・・・・・・・・・・・・・・・・・・・ | |
| 6.2 今後の検討・・・・・・・・・・・・・・・・・・・・・・・・・・・・・・・・・・・・ | |
| 参考文献 ************************************ | |
| | |

1. はじめに

原子力プラント等の大規模システムには高度の信頼性・安全性が求められるとともに、より一層進ん

だ安全評価技術も必要となっている。この評価方 法として確率論的安全評価手法 (PSA) が原子力 の分野に導入され、プラント設計、安全審査等に おいて重要な役割を果たし始めている。PSAとし ては内的事象に起因するリスク以外に地震、火災 等の外的事象に起因するリスク 1)も評価され始め ており、内的事象と同等あるいはそれ以上のリス クをもたらすと評価された例もある。また、兵庫 県南部地震の例に見られる様に地震によって引き 起こされた火災による二次的災害でも大きな被害 がもたらされている。機器耐力を大幅には上回ら ない、発生頻度の比較的大きな小地震でも、火災 が各所に発生し安全系統の機能喪失に至ると原子 炉事故に発展する可能性も無視できないと考えら れる。それゆえ、地震等により誘起される同時多 発火災リスク評価手法を確立する必要がある。

本研究では、地震時の火災発生シナリオの検討、 地震時火災損傷評価手法の開発、サンプルプラントを対象とした評価を実施し、地震誘起による同 時多発火災リスク評価手法の開発・整備を行う。 将来的には、具体的プラントについての地震誘起 火災リスクの評価を実施し、プラントの安全性確 認・安全性向上に寄与することが可能となる。

この評価手法は、今後、陸上発電炉のみならず、 種々の原子力施設あるいは船舶の衝突時の火災リ スク評価にも適用可能となる重要な手法と言える。

1.1 概要

本研究は、従来から海上技術安全研究所において開発・整備してきたシステム信頼性解析手法 GO-FLOW²⁾、火災リスク評価の経験 ¹⁾、火災進展解析コード (COMPBRN) の使用経験 ^{1),3)}等を活用し、平成 8 年度に原子力施設等安全研究年次計画として提案し、平成 11 年度より国立機関原子力試験研究費として研究を行ったものである。研究は、以下の 4 項目を設定し 5 ヵ年計画で実施した。その概要を図-1.1 に示す。

(1) 火災発生シナリオの検討(Task 1)

地震時に火災発生が考えられる個所を検討し、火災が発生した場合どのような事故進展があり得るかを定性的に調べ上げる。その際、既存の PSA の結果等を参照する。このようにして地震時の火災事故シナリオをリストアップし、その中で問題となりそうなシナリオにおける起因事象を選定する。

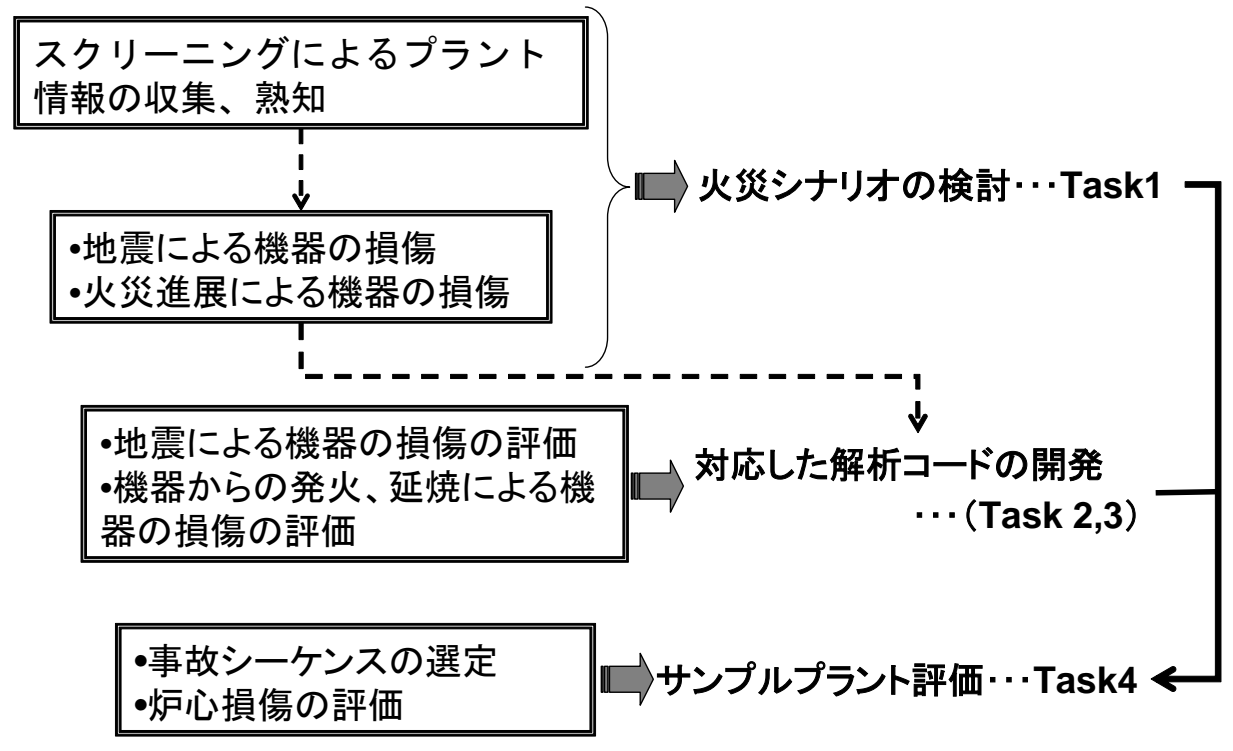


図-1.1 本研究の概要

(2) 地震時火災損傷評価手法の開発(Task 2)

地震時機器損傷評価コードの整備を行い、起 因事象の発生頻度算出を可能とする。このコー ドでは地震動の結果、火災発生、発火事象をも たらす確率を評価できる様にする。対象機器と しては、油タンクの損傷、電線ケーブルの損傷・ ショート、電気部品の発火、構造物の破損を取 り上げる。また、起因事象からどのような火災 進展が起こるかを現実的に評価できる解析コー ドの開発を行う。この解析コードにより複数の 区画を対象とした区画間の火災伝播解析を可能 とし、火災事象をより現実的なモデルで解析で きるようにする。

(3) 火災実験による火災進展解析コードの検証 (Task 3)

火災発生後における機器類の損傷を現実的に 評価できる火災進展解析コードの、実験に基づ いた検討・改良を行う。

(4) サンプルプラント評価(Task 4)

サンプルプラント評価においては、各タスク の成果をもとに、イベント・ツリー手法、 GO-FLOW 手法を用いて炉心損傷頻度評価の算 出を行う。

本研究においては、地震 PSA 手法に関するものは すでに日本原子力研究所 4)等で行われているためそ れらを利用することとして、Task 2と Task 3に重 点を置いて研究を実施した。本報告書では、Task 2 と Task 3 については、3. 地震時機器損傷評価 コード、4. 火災進展解析コードの開発として報告 する。

2. 火災リスク評価手法

2.1 従来の火災リスク評価手法

海上技術安全研究所 (研究当時:船舶技術研究 所)では日本原子力研究所よりの受託研究として、 平成3年度からの2年間に渡り「火災リスク評価 手法の検討」1)の研究を実施し、国内のプラント に適合した火災リスク評価手法の確立につながる 成果を得た。同研究では、PSA手法に基づき、図 -2.1 に示す手順により解析を実施した。以下に、 同手法による火災リスク評価の一例を示す。

1) 解析対象区画の設定

原子力プラント火災事故時の炉心損傷頻度算出 の対象プラントとして、BWR(Type-5、MARKⅡ) を選定。ただし、特定のプラント情報を入手する ことが困難であるため、原子力安全研究協会の「軽 水炉発電のあらまし」5)の記載事項を主要情報源 として一般的なプラントを想定し、プラント内す べての区画について検討を行い、火災区画の候補 を選び出し、それらに対しスクリーニングを行い、

解析対象区画の1つとして非常用発電機室を選定。

2) 火災発生頻度の推定

サンディア国立研究所でまとめた火災事象データベース 6)によると沸騰水型原子力プラントにおける運転中の火災事例は、非常用発電機建屋内で 12 件であった(運転延べ時間 328 時間)。ここで、稼働率 51%、発電機室が 3 室あるとすると非常用発電機室内の火災発生頻度は 2.4×10-2/区画・年となる。

- ・発生火災の種類同定:可燃性液体による火災と設定。(安全側の評価とするため、非常用発電機室で発熱量が一番大きい火災を設定)
- ・大火災源、小火災源の割合推定:火災源の大きさが小に属する割合を 2/3、大に属する割合を 1/3 と推定。(BWR の場合、火災継続時間が 30 分以下の火災が全体の 62.5%であった。このデータを基に火災継続時間により火災源の大きさを推定)

3) 火災進展解析

損傷範囲を同定するため、非常用発電機室内の機器の損傷温度を調査。最も火災に弱い機器は発電機のコイル巻線および潤滑油ポンプの巻線で損傷温度は130℃であった。火災進展解析コード COMPBRN Ⅲ⁷にて、機器損傷をもたらす火災範囲の推定を実施。

- ・小火災源の場合、発火位置によらずコイル巻線の 損傷温度 130℃に至らない。
- ・大火災源の場合、安全側に評価するためコイルに 近い位置を発火源とすると、火災発生後 23 分で発 電機が損傷に至る。
- 4) 機器損傷をもたらす火災発生頻度の推定 大火災源のみを対象とするため、機器損傷を引き 起こす火災発生頻度は、

2.4×10⁻²×1/3=8.0×10⁻³/区画·年

となる。

5) 消火成功確率の推定

所内要員が消火活動に対処できると仮定した場合、 $Siu\&Apostlakis^8$ のモデル(このモデルについては、「5.3 消火活動について」を参照されたい)より、23 分以内の消火成功確率は 0.61。

6) 火災原因起因事象の同定

非常用発電機室の機器は待機系であるため運転に は直接影響はなく、また、制御室から離れているた め運転員がどのように対応するかは一概には言えな いが、原子炉手動停止の起因事象が発生すると設定。

7) イベント・ツリー作成

手動停止の各起因事象に対するイベント・ツリー を作成。

8) 事故シーケンスの選定

事故シーケンス選定の際の打ち切り値として、米

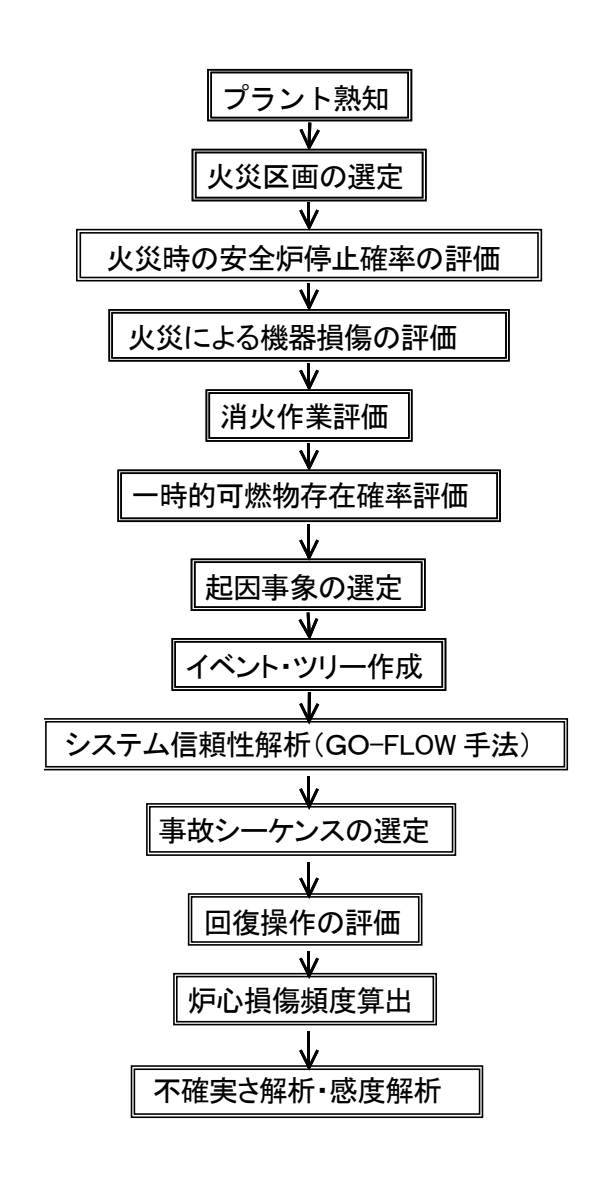
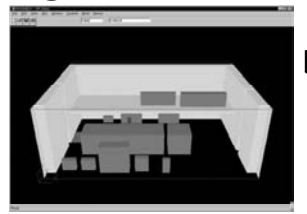


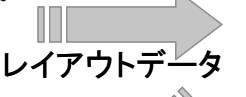
図-2.1 解析実施手順

国原子力規制委員会(NRC)がシビアアクシデントのリスクについて取りまとめを行った報告書である NUREG-1150 9)の値 1×10^{-8} /炉・年を目安とし、この値を、非常用発電機室での火災発生頻度×消火失敗確率の値 3.9×10^{-3} /区画・年で割り、 2.55×10^{-6} を本解析の事故シーケンス選定の打ち切り値とした。イベント・ツリー中、この打ち切り値以上の発生確率のシーケンスを取り出し、各事故シーケンスが炉心損傷に至るかどうかを電間が動作しない場合、および給水系、原子炉隔離時冷却、高圧炉心スプレー、手動減圧の全てが動作しない場合の2つのシーケンスが炉心損傷に至る事故シーケンスとして選定された。それぞれの

火災進展解析コード

①レイアウト作成





機器損傷評価コード

②地震による機器の 損傷評価

④火災による機器の損傷評価







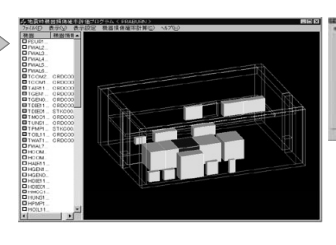




図-2.2 地震時機器損傷評価コードの概念

発生確率は 3.7×10⁻⁶、2.6×10⁻⁷ であった。

9) 炉心損傷頻度の算出

非常用発電機室内で大火災源の火災が発生した場 合に炉心損傷に至る頻度は、火災発生頻度×消火失 敗確率× Σ 事故シーケンス発生確率= 1.2×10^{-8} / 区画・年と算出された。

2.2 同時多発火災リスク評価手法

本研究においては、地震により誘起される同時多 発火災を対象としているため、従来の火災リスク評 価手法に、いくつかの新しい改良点を加える必要が ある。先の図-2.1 に示した「火災区画の選定」およ び「火災による機器損傷の評価」の項目において、 地震により損傷した場合にプラントに影響を及ぼす 機器の選定、地震による機器の損傷、機器からの発 火、延焼による機器の損傷を新たに考慮する必要が

そこで、地震時機器損傷評価コードと火災進展解 析コードをリンクさせた地震時火災損傷評価コード を整備することとした。地震時機器損傷評価コード の概念は図-2.2に示すとおりである。本コードでは、 ①火災進展解析コードの機能を用いて対象エリアな どのレイアウトの作成を行う。②このデータを用い て地震時機器損傷評価コードにより地震による機器 の損傷・発火評価を行う。③この機器の損傷・発火 評価の結果から発火源となる機器が決められ、この 発火源に対して火災進展解析コードを用いて解析を 行う。④この火災進展解析の結果から、地震時機器 損傷評価コードにより火災による機器の損傷評価を 行う。

3. 地震時機器損傷評価コード

本研究で開発した地震時機器損傷評価コードに ついて述べる。

3.1 概要

これまでに述べたように、本研究は地震誘起に よる火災によるリスク評価を行うものである。こ の場合、①地震による機器の損傷および ②地震に よる機器の発火の2点を評価する必要があり、こ の観点から地震時機器損傷評価コードの開発を行 った 10)。

まず①の損傷確率の評価について検討した結果、 地震による機器の損傷確率を評価する解析コード として、日本原子力研究所で開発した SECOM-2 コード 11)があり、このコードを参考に開発を行っ た。SECOM-2 コードは、機器の各地震動レベル での現実的応答と耐力の確率分布から、現実的応 答が耐力を上回る確率として損傷確率を評価する ものである。②の機器の発火については、今回の 研究では特定の方法に決めることができず、幾つ かの方法を提案、解析コードに設定するにとどま った。以下、本解析コードの使用方法、判定方法、 使用例について述べる。

3.2 使用方法

本コードを使用する際には、あらかじめ下記の 5 つのファイルを用意する 12)。各ファイルの概要 についてまとめたものを表-3.1 に示す。

- Q1 ファイル (レイアウト情報)
- 材料データベース

- · Props ファイル (物性値データ)
- ・ 地震動データベース
- ・ 機器耐力応答データベース

Q1 ファイルは、火災進展解析コードのレイアウ ト作成機能を用いて作成する。他のファイルについ てはテキストエディタ等を用いて作成する。5 つの ファイルを作成した後、これらを本コードに読み込 む。Q1 ファイル等を読み込むことによって、本コ ードの画面に3次元の機器等のレイアウトが表示さ れる。この画面において、損傷確率を評価する機器 を選択し詳細情報ダイアログを表示させ、地震時の 機器損傷確率評価に必要なパラメータの設定を行う。 または、同ダイアログを用いて火災進展解析コード (CHAM 社の3次元汎用熱流体解析ソフト PHOENICS)の入力データとなる燃焼に関するデー タ(材料データベースおよび Props ファイルに記述 されている)の設定を確認する。全ての機器につい てこの設定を行った後、地震時機器損傷評価を行う。 損傷確率計算結果は、詳細情報表示ダイアログで確 認することができる。損傷確率計算結果を用いて発 火判定をし、燃焼計算用に発火情報をテキスト形式 で保存することが可能である。これは、火災進展解 析コードで入力データとなる。また、火災進展計算 結果(PHOENICS 計算結果)を読み込み、温度履歴の

表示、燃焼後の損傷判定を行い、結果を表示することができる。

以上の処理の流れを図-3.1 に示す。また、2 つのコード間の入出力データの概要について表-3.1 に示す。

3.3 判定方法

本解析コードは、地震による機器の損傷、発火 および火災による機器の損傷の2つの判定を行う ものである。これらの判定方法については以下に 示すような方法を選択できる。

機器の発火判定については、前述したように、 特定の方法に決めることができず、次に示す方法 を選択できるものとした。

- ・ 機器損傷確率があるレベルを超えたら火災が 発生
- ・ 地震により機器が損傷する場合、損傷した機器自体ではなく、関連する別の機器が発火することが考えられる。例えば、モーターとモーターによって駆動する機器を考えた場合、駆動機器が故障したことにより正常なモーターに過負荷が生じ発火する等が考えられる。そこで、自らの損傷確率のしきい値設定の他に、関連した機器の損傷確率がしきい値以上損傷した場合に発火することも考える。

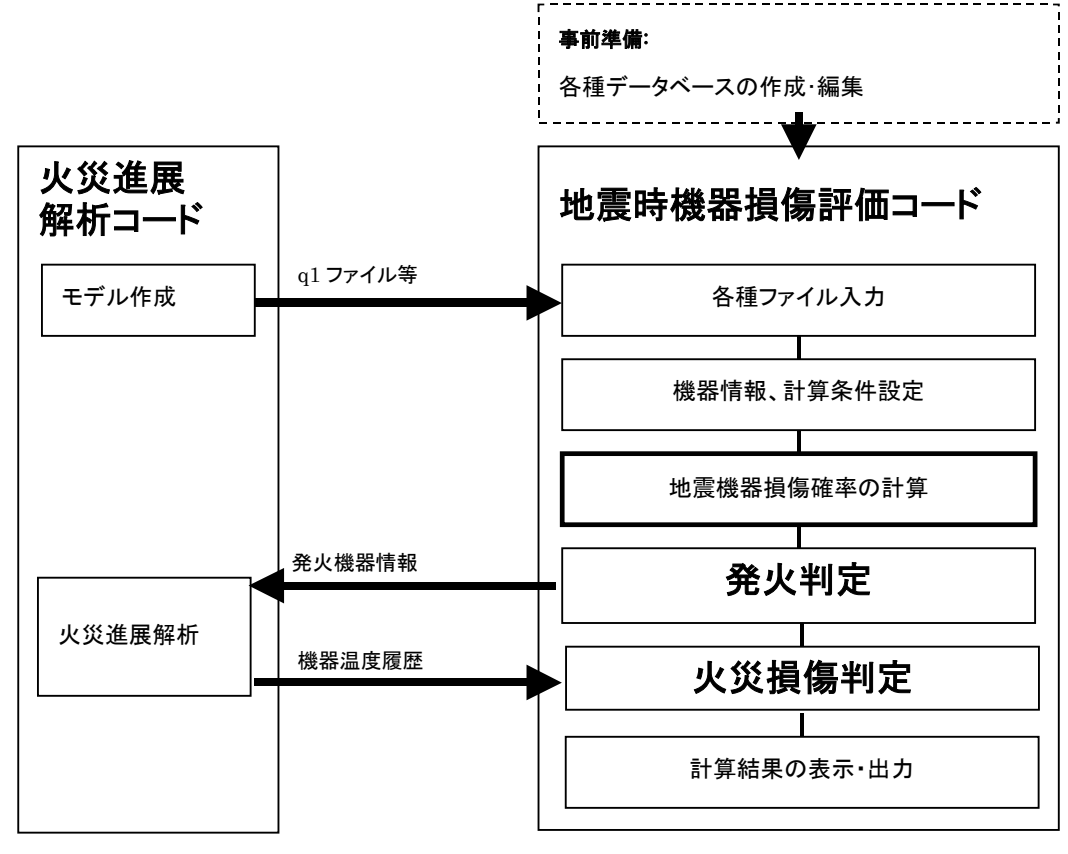


図-3.1 処理の流れ

| | X 5.1 NHD 7 7 0 M S | | | | | |
|---------------|--------------------------------------|--|--|--|--|--|
| 入出力データ | 概 要 | | | | | |
| Q1ファイル | 火災進展解析コードのレイアウト作成機能を用いて作成・出力される。レ | | | | | |
| | イアウト(機器等の位置ならびに形状データ)情報を格納する。 | | | | | |
| | BLOCKAGE形状のみを取り扱う。 | | | | | |
| | ファイル名は"q1"または"*.q1"とする。 | | | | | |
| Props ファイル | PHOENICS 標準の物性値データベース。火災進展解析コードで使用する | | | | | |
| | データを格納する。ファイル名は"Props"とする。 | | | | | |
| 材料ファイル | PHOENICS においてユーザーサブルーチン使用時に用いるデータベー | | | | | |
| | ス。火災進展解析コードで使用するデータを格納する。ファイル名 | | | | | |
| | は"mat.dat"または"*.mpr"とする。 | | | | | |
| 機器・機器情報対応ファ | 機器名と機器情報名の定義を格納する。 | | | | | |
| イル | ファイル名は"q2r"とする。 | | | | | |
| 地震動 DB ファイル | 震度に係る情報データを格納する。SESOMⅡコードに準ずる形式とする。 | | | | | |
| | ファイル名は"*.sei"とする。 | | | | | |
| 耐力・応答 DB ファイル | 機器の機器耐力応答データを格納する。SESOMⅡコードに準ずる形式と | | | | | |
| | する。 | | | | | |
| | ファイル名は"*.res"とする。 | | | | | |
| 発火情報ファイル | 地震時機器損傷評価計算に用いられた入力データならびに計算結果とし | | | | | |
| (火災進展解析コード用) | ての機器損傷確率、さらに火災源の情報を含む。 | | | | | |
| | ファイル名は"*.out"とする。 | | | | | |
| 火災進展解析結果 | PHOENICS で計算された機器の温度履歴を含む。 | | | | | |
| | ファイル名は"*.phr"とする。 | | | | | |
| 計算結果 | 地震時機器損傷評価計算に用いられた入力データならびに計算結果とし | | | | | |
| | ての機器損傷確率、さらに火災源の情報を含む。 | | | | | |
| | ファイル名は利用者が任意に設定できるが、拡張子として".txt"が自動的 | | | | | |
| | に付加される。 | | | | | |

表-3.1 入出力データの概要

火災による機器の損傷評価については、次に示す 方法が選択できる 12)。

- ・ 最高温度のしきい値による評価(ある温度を超 えた時点で、機器損傷に至ると仮定)
- ・ 平均温度のしきい値による評価
- しきい値に到達しない低い温度でも、その温度 がある時間継続した場合に損傷するとした積算 温度による評価

また評価対象となる機器により、評価されるべき 脆弱な個所は異なる。そこで、対象機器内のどの部 分を評価点とするかを任意に設定できるものとした。

3.4 使用例

- ① 解析コードを起動すると、図-3.2 に示す「モデ ル新規作成」画面が表示される。この画面にお いて、新規モデル名を入力し、Q1 ファイルを 選択する。なお、材料 DB ファイル(mat.dat) および Props ファイル(props)については、Q1 ファイルと同じディレクトリにあるファイル が読み込まれる。
- ② Q1 ファイルから、機器レイアウトが読み込ま れ、図-3.3に示すような図が表示される。
- ③ コンポーネント情報と耐力・応答データの関連 付けを行う。図-3.4に示すように、左側のリス トを選択し、コンポーネントを選択した状態で



図-3.2 「モデル新規作成」画面

「表示」メニューの「詳細設定」を選択して 「詳細設定」ダイアログを開く。

④ 「詳細設定」ダイアログの「機器情報名」リ ストから、対応する耐力・応答機器情報名を 選択する。以上をすべてのコンポーネントに ついて繰り返す。(図-3.5)

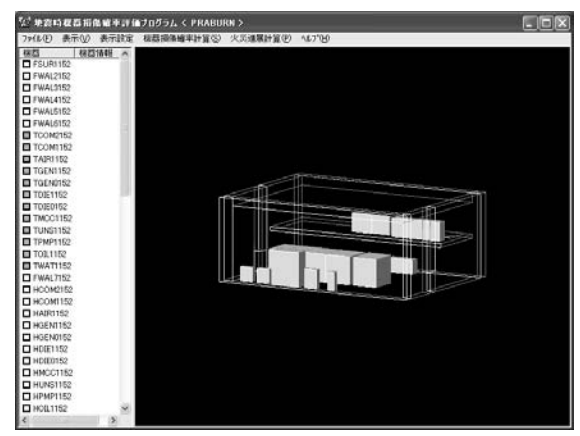


図-3.3 レイアウト画面

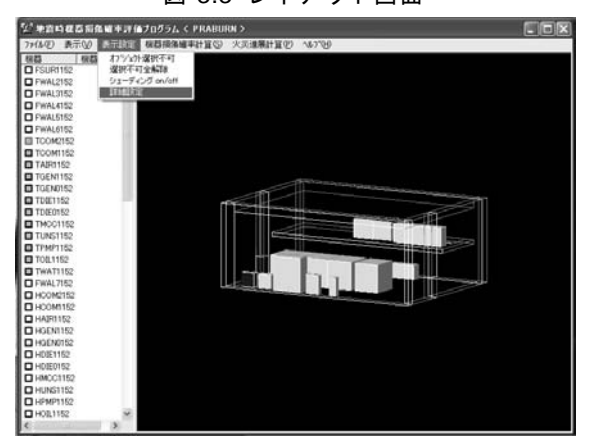


図-3.4 詳細設定

- ⑤ 解析地震動レベルを設定する。「機器損傷確率計算」メニューの「地震レベルの設定」を選択し、「地震動レベル設定」ダイアログを開く。地震動レベルのリストを選択して設定する。(図-3.6)
- ⑥ 損傷確率計算を実施する。「機器損傷確率計算」メニューの「実行」を選択し、損傷確率計算を実施する。(図-3.7)
- ⑦ 機器損傷確率計算実施後に、コンポーネントの 詳細設定を見ると、「計算結果」タブが追加さ れ、機器損傷確率が表示される。(図-3.8)
- ⑧ 機器全体の損傷確率を出力するには、「火災進展計算」メニューの「計算結果を保存」を選択して、計算結果をファイルに保存する。(図-3.9)
- ⑨ プロジェクト情報を保存するには、「ファイル」メニューの「名前を付けて保存」を選択し、 プロジェクトファイル(*.pbn ファイル)を保存する。
- ⑩ プロジェクト情報ファイルが火災進展解析コードで利用され、評価が行われる。この火災進展解析結果は、「火災進展解析」ダイアログから、「火災進展解析計算結果を開く」を選択することにより表示される。

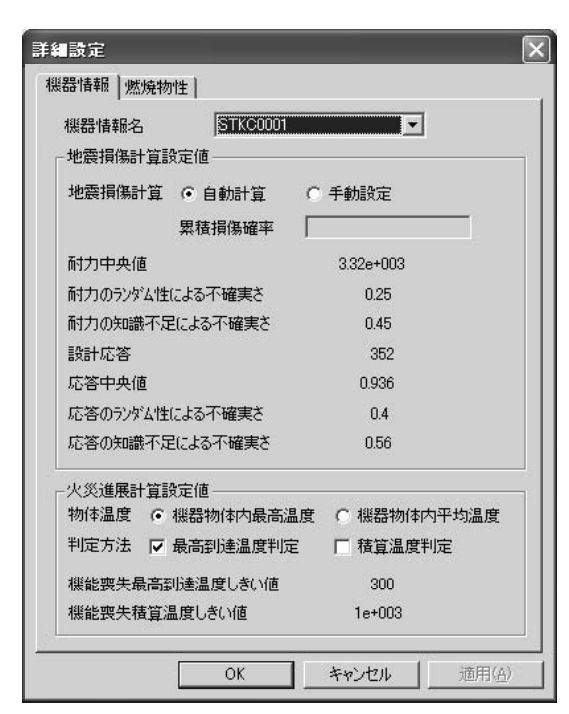


図-3.5 詳細設定画面



図-3.6 地震動レベル設定画面成」画面

① プロジェクト情報を読み込むには、Praburn.exe を起動し、「モデル新規作成」 ダイアログはキャンセルし、「ファイル」メニューの「開く」から、プロジェクトファイル (*.pbn ファイル)を選択すると、プロジェクト情報が読み込まれる。

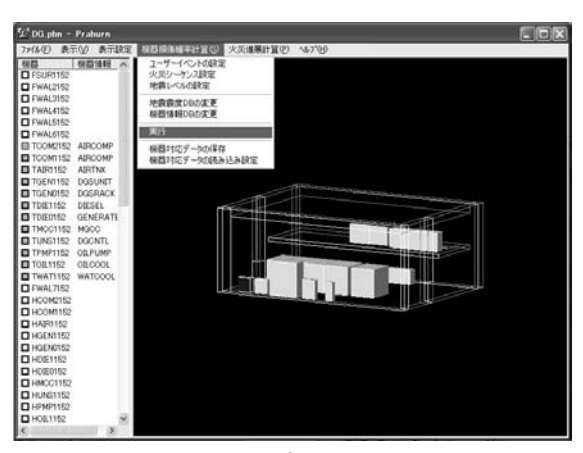


図-3.7 実行画面



図-3.8 解析結果表示画面

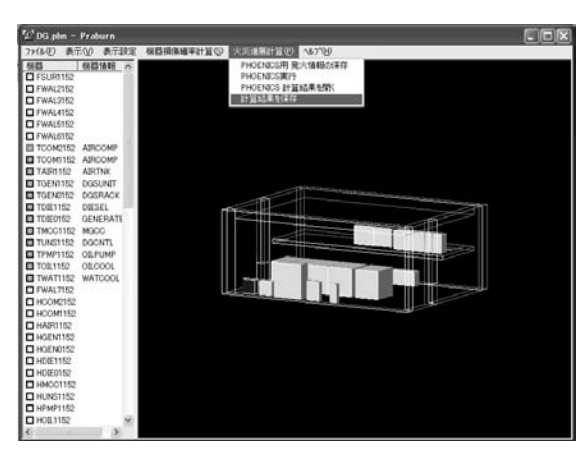


図-3.9 解析結果保存

4. 火災進展解析コードの開発

火災の成長・発展、火災の影響範囲を物理的なモデルに基づき解析する計算コードとしてCOMPBRNⅢが開発されており、原子力の分野における PSA では広く採用されている。このコードによれば、想定している火災が室内の機器にどの程度の損傷を発火後何分でもたらすかが評価でき、現実的な仮定のもとに火災事故解析が行える。しかしながら、COMPBRNⅢを、本研究の対象である多区画における同時多発火災の解析へ適用するには以下の問題点が残る。

- ・ 複数区画の火災伝搬や区画内の同時多発火災 に対する考慮がなされていない。
- ・ 解析モデルのデータファイル作成時、機器の 寸法、座標を数値で入力する方式なので多区 画のモデルを作成する場合、効率および配置 が理解しにくい。

そこで、本研究においては、複数区画の火災伝搬や区画内の同時多発火災に対応可能な上、3次元 CAD システム (VR Editor) により解析モデルのデータファイル作成が可能な汎用熱流体解析コード PHOENICS およびその外部関数機能を基に、火災進展解析コードの開発を実施した。なお、VR Editor により作成されるデータファイルは、3章で記述した地震時機器損傷評価コードと共通のものとなっている。

本章においては、本研究で開発した火災進展コードの検証のために実施した火災実験と火災実験の結果を受けて火災進展解析コードに加えた改良について記述する。

4.1 火災進展解析コード

本研究で開発した火災進展解析コードの熱流動 解析モデルには、換気系を境界条件とし、質量、 運動量、熱量、乱流エネルギーの保存則を解析す るフィールドモデルを用い、燃焼過程モデルには、 化学反応モデルと反応速度無限大モデルを用い、 輻射解析モデルには、Immersol モデルを用いて いる。これにより、局所的な現象までシミュレー トすることが可能であり、例えば壁の温度分布を 調べ最高温度や平均温度を求めることなどもでき るようになる。しかしながら、計算負荷が大きい ので、解析モデル作成時の計算格子の設定には、 計算時間を考慮した設定が必要となる。そこで、 本研究においては、数十時間の計算時間を目標に 計算格子を設定した解析を行うこととし、この条 件のもと火災実験の結果を踏まえた各種パラメー タチューニングを実施した。

4.2 火災実験 1

火災実験1においては、火災進展解析コードにより算出される温度分布の検証を目的とし、単一区画内での火災実験を実施した。なお、実験回数等が限られているため、実験対象区画に非常用発電機室を設定し実験を行うこととした。対象区画での起こり得る火災は、文献¹⁾では以下の項目が選定されている。

- (1) 非常用ディーゼル機関燃料管から燃料が霧状に 噴出し着火する(燃料ジェット火災)。
- (2) 非常用ディーゼル機関から燃料が漏れて床上に滞留し着火する(燃料プール火災)。
- (3) 潤滑油ポンプあるいは潤滑油冷却器から潤滑油 が漏れて床上に滞留し着火する(潤滑油プール 火災)。
- (4) 発電機制御盤から出火する(配電盤火災)。

ここで、燃料ジェット火災、燃料プール火災および 潤滑油プール火災では、火炎が直接、側壁あるいは 中二階のデッキの下面を加熱することが想定される。 また、潤滑油は一般にディーゼル燃料よりも発火・ 着火し難いこと、および潤滑油ポンプあるいは潤滑 油冷却器からの潤滑油の漏れは非常用ディーゼル機 関からの燃料の漏れと同等か少ないと考えられるため、潤滑油プール火災は燃料プール火災によってカ が一できると考えられるので、想定火災(3)は本実験 の対称から外す。配電盤火災では、火炎は中二階の 側壁および天井に当たることが考えられる。この火 災における燃焼物は主に、電線ケーブルおよび配電 電気器具であり、その燃焼は燃料油の燃焼よりも緩 やかであると考えられる。

以上のことから、燃料ジェット火災と燃料プール 火災を検討の対象とし、これらを模擬する実験を実施することとした。さらに、室内全体が火炎に包まれる盛火期におけるコンクリート壁およびデッキの耐火性を検証するための火災試験も実施することとした。

4.2.1 実験概要

検討対象として図-4.1 に示すような非常用発電機室を設定した。寸法は、幅 13.7m、奥行き 20.8m、天井高さ 8.05m、容積 (内部の機器および仕切り壁・床を含む) 約 2294m³である。この寸法の部屋を用意して火災実験を実施すれば、非常用発電機室の火災性状を精度よく把握できるが、実際にはそのようなことは不可能である。そこで、燃焼発熱量を測定することも勘案して、図-4.2 に示す ISO 9705 の室内火災試験の設備を利用して、模擬火災実験を実施することとした。この火災試験室の内法寸法は、幅

2.4m、奥行き 3.6m、天井高さ 2.4m、内容積 20.74m³である。非常用発電機室の火災を模擬するために、実験室内には中二階デッキを模擬したコンクリート製デッキを設置し、壁面には実プラントに用いているコンクリートのデータから模擬した壁を取り付け、図-4.3に示すような位置に内部温度を測定するための熱伝対を 10 個、埋め込んだ。

実験は、図-4.3 に示す位置に燃料として軽油を満たした $0.5 \, \mathrm{m}$ 角のオイルパンを置き、燃料が燃え尽きるまで(約 $10 \, \mathrm{分}$)行った燃料プール火災を模擬したものと、燃焼発熱量 $200 \, \mathrm{kW}$ を目標とした $0.17 \, \mathrm{m}$ 角のプロパンガスバーナーを同様の場所に置いて $30 \, \mathrm{分実験}$ を続けた燃料ジェット火災を模擬したものを行った。また、この火災実験室の開口から $0.5 \, \mathrm{m}$ 大力に位置の床面から $0.5 \, \mathrm{m}$ 大力に表する室内温度の上昇も同時に測定した。

4.2.2 解析コードの検討

1) 解析条件

火災実験との比較のため、図-4.4に示す火災実 験区画の解析モデルを作成し、各部の温度と実験 結果の比較を実施した。解析範囲の大きさは火災 実験室の内寸 3.6m×2.4m×2.4m とし、出入口の 大きさも火災実験時と同様に 0.75m×1.8m とす る。発火源は、燃料ジェット火災を模擬したプロ パンガスバーナーとし、その横には火災評価対象 物である板が設置してあり、さらに部屋内部には デッキも設置している。部屋の壁はそれぞれ 0.15m とし、部屋の外側は温度固定とする。なお、 地面は断熱条件とする。また、計算時間の短縮を 目指し格子数を 27×29×22=17,226 個とした。実 験では図-4.5に示すように発熱量が分かっており、 約 210kW であったため、本解析でも一定値、 210kW を入力値とする。また、発火時間が 30 分 であったため、計算時間を 30 分とした。この計 算の計算時間は IntelPentium-4、2.0GHz で約 24 時間であった。

2) 計算結果と考察

図-4.6 はデッキ部の温度時系列、図-4.7 は火炎 近傍の板の温度時系列、図-4.8 は出入口付近の温 度時系列である。図-4.9,10,11 は各々の計測点の 位置を示したものである。

まず、デッキ部の温度時系列では計算開始後約19分までは約1.3Kの温度上昇までで、実験と計算はよく一致しているが、それ以降においては計算では線形的に上昇しているが、実験では指数的に上昇していると言った相違点が見られた。また、火炎近傍の板の温度においても実験では指数的に

上昇しているのに対し、計算結果の上昇率は逆に減少していた。出入り口付近の空気については実験結果では最初急激に温度上昇した後、徐々に上昇しているのに対し、計算結果では初期の温度上昇は急激でその後の温度上昇は無く、定常状態になった。また、0.5mの位置の温度は実験値では最終的に100K近く上昇しているのに対し、計算結果ではほとんど上昇せず、外気と同じ値であった。これは計算の方で計測している点付近では外気が直接流れ込んできているため温度上昇がないと考えられる。以上のように幾つかの相違点が見られたが以下にこれらの原因およびその解決法を述べる。

まず、固体部分の計算結果では温度上昇が少なかった。この原因としては本解析では計算時間の制約上、格子数を増やすことは好ましくなく、壁への伝熱が不正確になっている可能性が挙げられる。格子の数を増やさずに改善するためには壁と流体の熱伝導係数を調整することにより改善できる可能性がある。また、内部空気と壁の間の熱伝達係数を実験れては入力したコンクリートの熱容量の精度が悪い可能性があり、実際の状態を再度確認する必要がある。この問題点については、隣室への温度影響を検討する火災実験2において検討することとした。

次に、出入り口付近の温度は全体として計算結果の方が低い温度が得られた。この原因としては名子数が足りないために出入り口の圧力損失が過小評価されている可能性である。この場合、急拡大、急縮小に関する圧力損失係数を与えて計算を行うことには、急には密度差を無視することができる可能性がある。また、場合には密度差を無視することはできない、本解析で用いている近似法では、温度差がり、本解析で用いている近似法では、温度差がり、さらに、自然循環を促す駆動力を過大評価している可能性がある。すなわち、循環量が増え、室内空気の温度が低く計算される可能性がある。この場合、理想気体の状態方程式を用い、密度の変化を計算する改良を行うこととした。

3)解析コードの改良

本項では出入り口に空気抵抗を仮定した抵抗を 与える改良を行い、次に、理想気体の状態方程式を 使う計算を行い、これら2つのケースと基本ケース と実験結果との比較を行い、室内空気の温度に与え る影響を考察した。

図-4.12 に出入り口に抵抗を与えた場合と理想気体の状態方程式を使った場合の出入り口付近の温度時系列を示す。出入り口に抵抗を与えた場合、最高温度上昇は200Kを超え、実験結果と近い値となった。しかしながら、下から0.5m、1mの場所では実

験結果では図-4.8 に示すように温度上昇が $100~\rm K$ を超えているが、このケースでは $50~\rm K$ 未満であり、実験結果との相違が見られた。次に、理想気体の状態方程式を使った場合の最大温度上昇は $300~\rm K$ を超えている(図-4.12(b))。

以上より、出入り口の抵抗を考慮した場合よりも理想気体の状態方程式を用いた場合の方が火災実験1の結果と一致する傾向にあることがわかり、各種パラメータ、火災モデル等を再検討し、本解析コードに反映した結果、十分実験値と整合性のとれた結果を得ることができたと考える。

本項で改良を加えた火災進展解析コードと、従来火災進展解析コードとして用いられてきた COMPBRN との比較を行った ¹²⁾。検討対象として非常用発電機室における火災を取り上げた。この結果の例として、非常用ディーゼル発電機制御盤の計算結果を図・4.13 に示す。計算結果としては良い一致を示しており、本項の改良が有効であったことが確認できた。

4.3 火災実験 2

火災実験 2 においては、隣室への温度影響の検 証を目的として、多区画での火災を模擬した実験 を実施した。

4.3.1 実験概要

火災実験 2 においては、下記に示すような多区 画のモデルについて実験を行った(図-4.14)。

- ・ 外寸:高さ2.2m×幅3.4m×奥行き1.7m
- 区画内寸法

壁厚さ:0.1m、奥行き:1.5m

高さ:1m、幅:1m

階数:2 階建て、区画数:1 階 3 区画、2 階 3 区画

- ・ 区画開口:2 階の区画=なし(内圧を逃がす 小穴あり)、1 階の区画=幅 0.4m、高さ 0.6m (開口高さは試験ごとに調整する)
- バーナ: LPG を燃料とするトーチバーナ 10個、設置位置は1階の区画の床面(幅1.5m、長さ3m)
- ・ 壁面内の温度測定:1階の中央の区画の左右 側面および天井面のコンクリートパネル
- 埋め込み深さ:0m(表面)、0.025m、0.05m、
 0.075m、および0.1m(裏面)
- 埋め込み位置:高さおよび幅の中心線上 前面 から 0.3m および 0.7m
- ・ 区画内の温度測定:各区画内の高さ 0m、 0.25m、0.5m、0.75m および 1m(平面内の 位置は、2階の区画では約中央、1階の区画内 では加熱バーナを避けて区画の奥から約

0.3m 左右の中央とした)。

火災実験 2 の様子は図-4.15 に示すとおりである。この火災実験から得られた結果の一例として 1 階中央の部屋に発火源を設置した場合(燃焼時間 30 分)の温度上昇時系列を 0.25, 0.5, 0.75m の各点について測定した結果を図-4.16 に示す。図-4.16(a)より、発火源の部屋では、温度が 500K 付近まで上昇していることがわかる。しかしながら、それ以外の部屋では図-4.16(b)に示すように、わずかな温度上昇しか起こらなかった。特に、発火源を設定した部屋の斜め上方になる部屋については、ほとんど温度上昇は認められなかった。

4.3.2 解析コードの検討

1) 解析条件

火災実験との比較のため、図-4.17 に示す多区画の解析モデルを作成し、各区画の温度と実験結果の比較を実施した。発火源は、前項の実験と同様に 1 階中央の部屋に設置し、発熱量は

50ℓ/min×2400kcal/m³×10 本

 $=50\times0.001\div60\times2400\times4.18605\times10=83.721$ kW

とする。大きさは $0.1 \text{m} \times 0.4 \text{m}$ なので入力値は $2.09 \text{E} + 06 \text{W/m}^2$ となる。なお、火災実験 1 で問題と なった壁への伝熱を検討するために、図-4.17 に示す 4 枚の壁を温度評価対象オブジェクトとして計算を実施することとした。

2) 解析結果と考察

前項の解析条件のもと、火災進展解析コードを用いて解析を行った結果を以下に示す。 1 階中央の発火源のある部屋の温度時系列を図-4.18(a)に示す。計算開始直後温度は大きく振動している。これは温度変化が激しいため、計算をより正確に行うためには時間刻み幅の調節が必要であると考えられるが、本解析の場合、着火後数秒の時間変化に関する精度は要求しないため、以下に各温度が安定してからを考察する。温度が安定後、温度上昇は 300 K から400 K の間に落ち着く。図-4.18(b)に発火源のある 1 階中央の部屋の隣部屋である 1 階左側の温度時系列、発火源のある部屋の上の部屋である 2 階中央の温度時系列を示す。いずれも 30 分間で 1K 未満の温度上昇であった。

前項で示した実験結果と比較すると、発火源の設定された部屋の上昇温度が実験値よりかなり高く、また周囲の部屋の温度上昇は逆に小さな結果となった。この点について検討した結果、壁への熱伝達が問題となった。壁近傍の格子数や壁内部の格子数の設定により改善できる可能性はあるが、格子数を増やすことになり、計算時間が長くなる。これは本解

析コードがリスク評価に用いるという目的であるため、計算時間は短いほうが好ましい。そこで、 ①コンクリート部分の熱容量などを決定する物性値を変更してその影響を調べることを試み、②熱 伝達率を直接指定して解析することを試みることとした。

3) 解析コードの改良

①コンクリートの物性値の変更

従来の計算では、コンクリートの物性値を密 度: 4711(kg/m³)、比熱: 679.1(J/kg/K)、熱伝導 率:35.6(W/m/K)を用いていたが、実験状態と同 じコンクリートの物性値に近いと思われる珪岩質 骨材コンクリート(293K)、密度:2400(kg/m³)、 比熱: 950(J/kg/K)、熱伝導率 1.5(W/m/K)(伝熱 工学資料 13) を用いて計算を実施した。しかし、 1 階中央の部屋の温度上昇が、実験結果では 30 分後の温度上昇は300 Kから500 Kであるのに対 し、700 Kから 800 K以上の温度上昇が見られ、 温度が上昇しすぎることが分かった。また、2階 中央の部屋の中央の温度上昇は、1 K未満の温度 上昇率しかなく、実験値の最高 6 K 程度の上昇は 得られなかった。一階中央の壁は、前項の解析結 果より温度が上昇したが、実験値のように最大で 100 K以上の温度上昇はなかった。以上の結果よ り、コンクリートの物性値の変更は有効な対策で ないことが明らかとなった。

②熱伝達率の設定

本項では熱伝達率を直接指定して解析することを試みる。用いた熱伝達率 α は以下の式で与えられる。

$$\alpha = \frac{\lambda N_u}{l}$$

ここで、 λ は流体の熱伝導率、Nu はヌセルト数、l は壁の長さとする。壁と空気の温度差は、実験結果と解析結果の差を比較、検討した結果、本解析では 200K の差がある場合を想定した自然対流の熱伝達率を用いることとした。解析中、温度差が 200K となる時点の絶対温度を 300K から 500K と想定し、その平均温度である 400K 時の物性値を用いた。グラスノフ数およびプラントル数は、それぞれ Gr= 3.43×10^9 , Pr= 7.15×10^{-1} となり、伝熱工学資料 13 より、Nu=173(垂直平板)、Nu=188(水平平板)となるので、その平均値の α =5.97 を考慮して、 α =6 (W/ m^2 /K)をすべての部屋を仕切る壁に用いた。

上述の改良のもと、計算を実施したところ、一階中央の部屋の温度上昇率は 600K から 700K となり、①のケースより低下し、二階中央の部屋の温度も4度程度上昇し、実験値に近づき、本改良

が有効であることが確認できた。

なお、本実験では、発熱量は計測値ではなく推定 値であるため、発熱量の推定誤差が大きい可能性が あった。そこで、発火源の発熱量の見直しと熱伝達 率 α の微調整を行うことにより、図-4.19 に示すよ うにより実験値に近づいた良好な解析結果を得るこ とができた。ここで微調整を行った熱伝達率の値を 他の解析へ適用することにより、より精度の良い解 析が可能となった。

4.4 火災実験 3

火災実験3においては、プラント内での火災を模 擬し、ケーブルや電子機器への影響を調査した。

4.4.1 実験概要

プラント内での火災を模擬するために、火災実験 1 と同様に、ISO 9705 の室内火災試験の設備を利 用して、火災試験室に図-4.20 に示すようなケーブ ルおよびケーブルトレイを配備し火災実験を行った。 ケーブルは入手した資料をもとに、古いタイプと思 われるが実プラントに用いられているものと同タイ プのものを入手し、実験に用いた。また、プラント 内に配置された測定器、電子機器を模擬した CPU も実験に供した。また実験時にはケーブルの健全性 を調べるために、ケーブル両端に電圧を加えその変 化を PC に取り込み測定した。CPU については、実 験終了後マザーボードに設定しその起動状況を調べ、 健全性を確認した。ケーブルは、温度測定のための 熱電対の埋め込みやケーブルの設定作業等の複雑さ から、実験ごとに取り替えることができなかった。 そのため、一度の火災実験が終了後そのまま次の実 験に供した。実験は燃焼時間を 30 分とし、発火源 の位置をケーブルラックから遠い壁際に設置した場 合から始め、実験室中央そしてケーブルラック際の 計3回行った。

- · 内寸:幅 2.4m、奥行き 3.6m、天井高さ 2.4m、 内容積 20.74m3
- 区画開口:幅0.5m、高さ0.75m(開口高さは試 験ごとに調整する)
- バーナ: 0.17m 角のプロパンガスバーナー、設 置位置はケーブルトレイ中央真横においてケー ブルトレイからの距離を変え3箇所
- ・ 温度測定:ケーブル、ケーブル近傍およびケー ブルトレイ、中央壁面(埋め込み深さ: 0.025m、 0.05m、0.075m、埋め込み位置:高さおよび幅 の中心線上 前面から 0.3m および 0.7m)、室内 の温度測定(入り口付近の高さ0m、0.25m、0.5m、

0.75m および 1m)

実験の様子を図-4.21 に、また 得られた結果の 例として、ケーブルトレイ中央部に配置されたケ ーブルの、入り口側、中央、壁側の3点の温度変 化を図-4.22 の中で実線で示す。この図より、壁 付近のケーブル近傍では実験開始 30 分後には 200K 程度上昇していることがわかる。また、こ こに示してはいないが室内温度は500 K程度上昇 した。ケーブルについては、発火源が一番遠い壁 際の場合でさえ、実験開始後 25 分の段階で電圧 の変化(断線)が発生した。ケーブルトレイ脇に 発火源を設置した実験後のケーブルの状態は、被 覆が熔け中の殆ど全てのケーブルが短絡していた。 CPU については、全ての実験の中でケーブルトレ イ脇に発火源が置かれた場合のみ、発火源に一番 近い CPU が損傷した(表-4.1)¹⁴⁾。

4.4.2 解析コードの検討

1)解析条件

火災実験 3 の解析モデルとして図-4.20 に示す モデルを作成した。実験室内に配置されるケーブ ルの温度変化を検討対象としており、ケーブルラ ックがコンパートメント内に配置されている。計 算モデルではケーブルラックの形状を矩形を用い て近似し、ケーブルラックの厚みは計算格子の都 合上 0.005m とした。コンパートメントは厚み 0.015m のコンクリートで覆われているとし(火 災実験1のモデルと同じ)、ケーブルラックと空気 の間は熱伝達として熱伝達率 18W/m/K (火災実 験2のモデルと同じ)を設定した。計算ケースは 発火源を部屋の中央に設置したケースを対象とし、 計算を行った。なお、境界条件は、コンパートメ ントの底面は断熱とし、側面および上面は 279K 固定とした。また、コンパートメントの出入り口 は自由流入出条件(圧力固定)とし、流入の場合 には 279K の空気が流入するものとした。

2)解析結果と考察

上述の解析条件にて、火災進展解析コードを用 いて解析を実施した。ケーブルトレイ中央部のケ ーブルについて得られた計算結果は図-4.22 に点 線で示してある。この結果から、温度上昇のおお よその傾向は一致しているものの、入り口付近と 壁側の温度の関係が実験値と異なる。これは、実 験時には実験室内奥、つまりケーブルトレイの壁 側付近において高温層が発生していたものと思わ れるが、計算ではこれが発生していない。したが って、測定点と温度関係が正しく得られていない

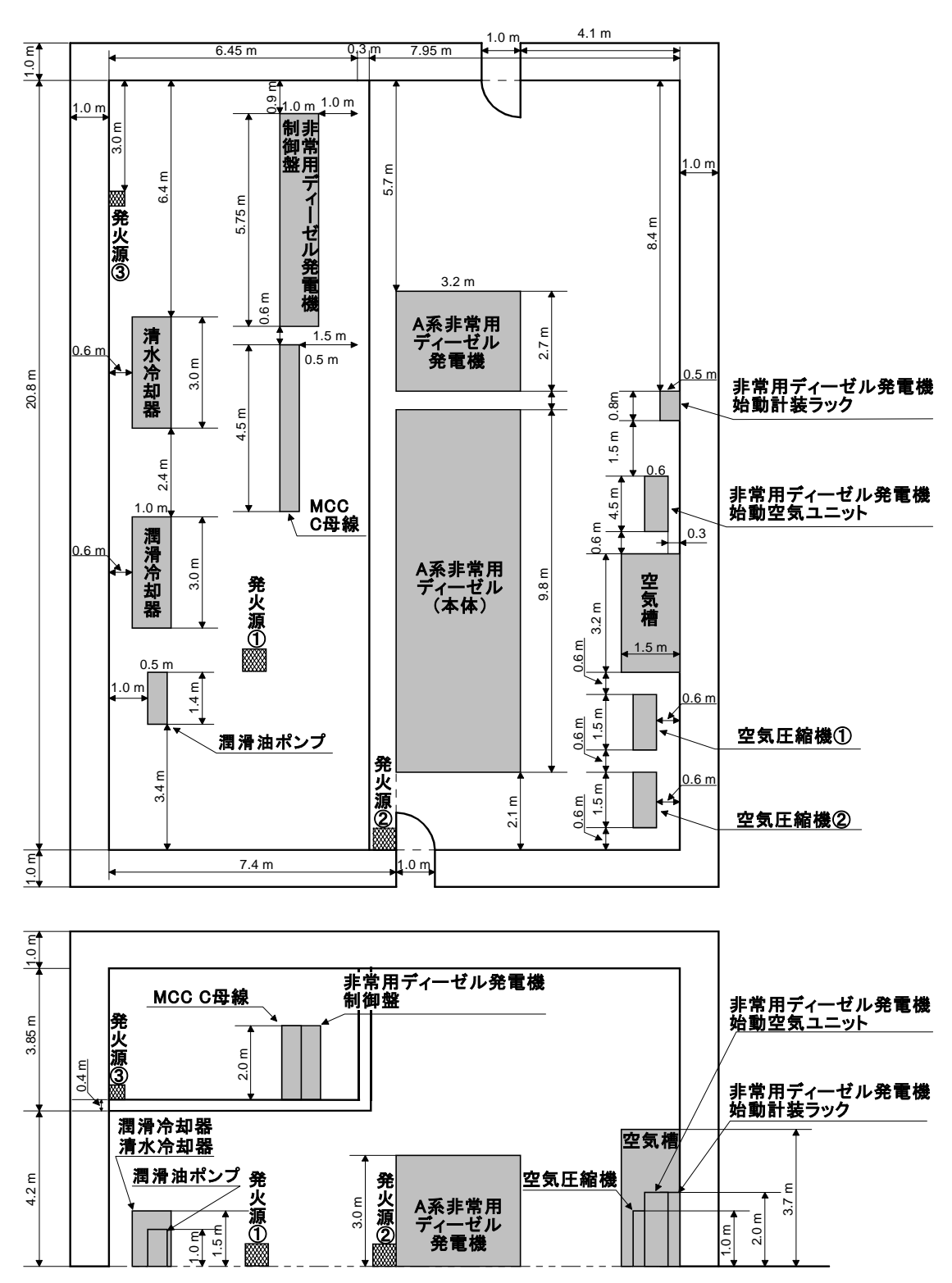


図-4.1 非常用発電機室

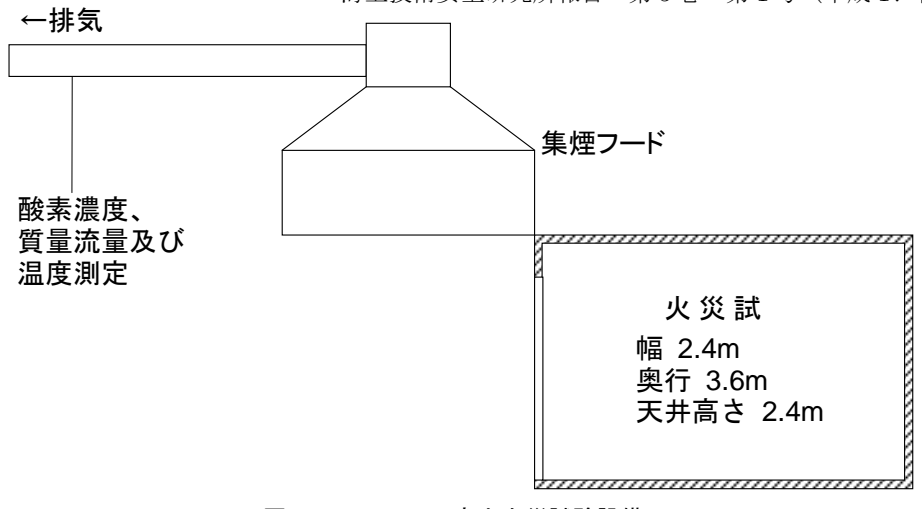


図-4.2 ISO9705 室内火災試験設備

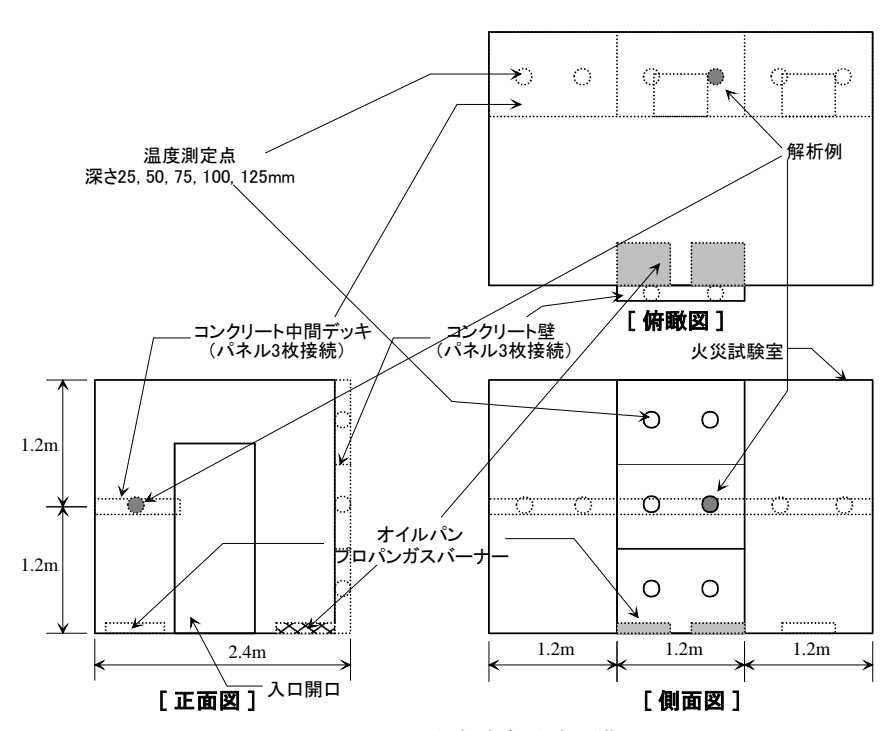


図-4.3 火災実験室試験設備

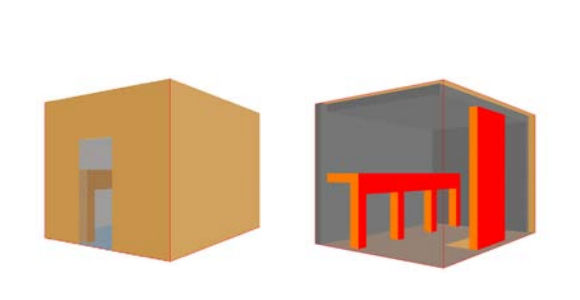


図-4.4 火災実験用解析モデル概要

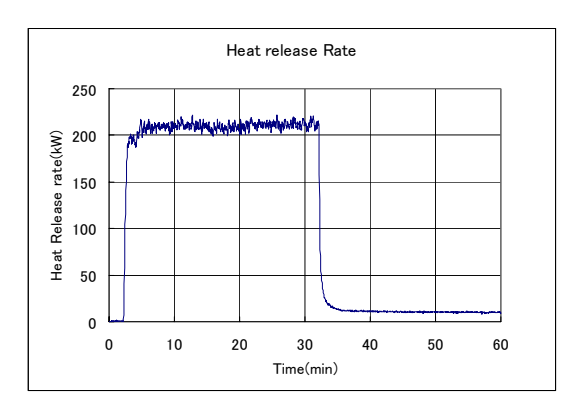


図-4.5 火災実験の発熱量

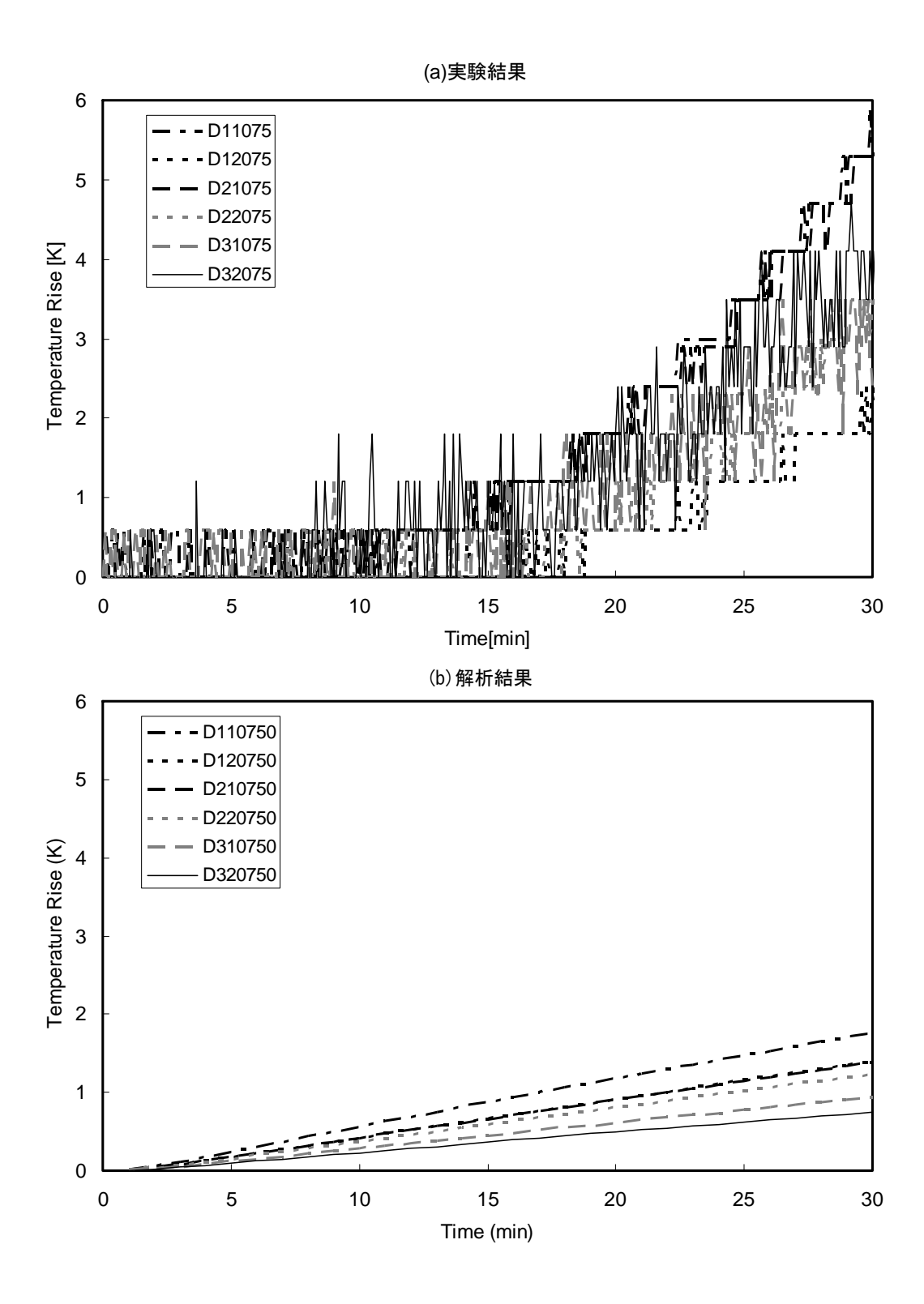


図-4.6 デッキ部温度時系列

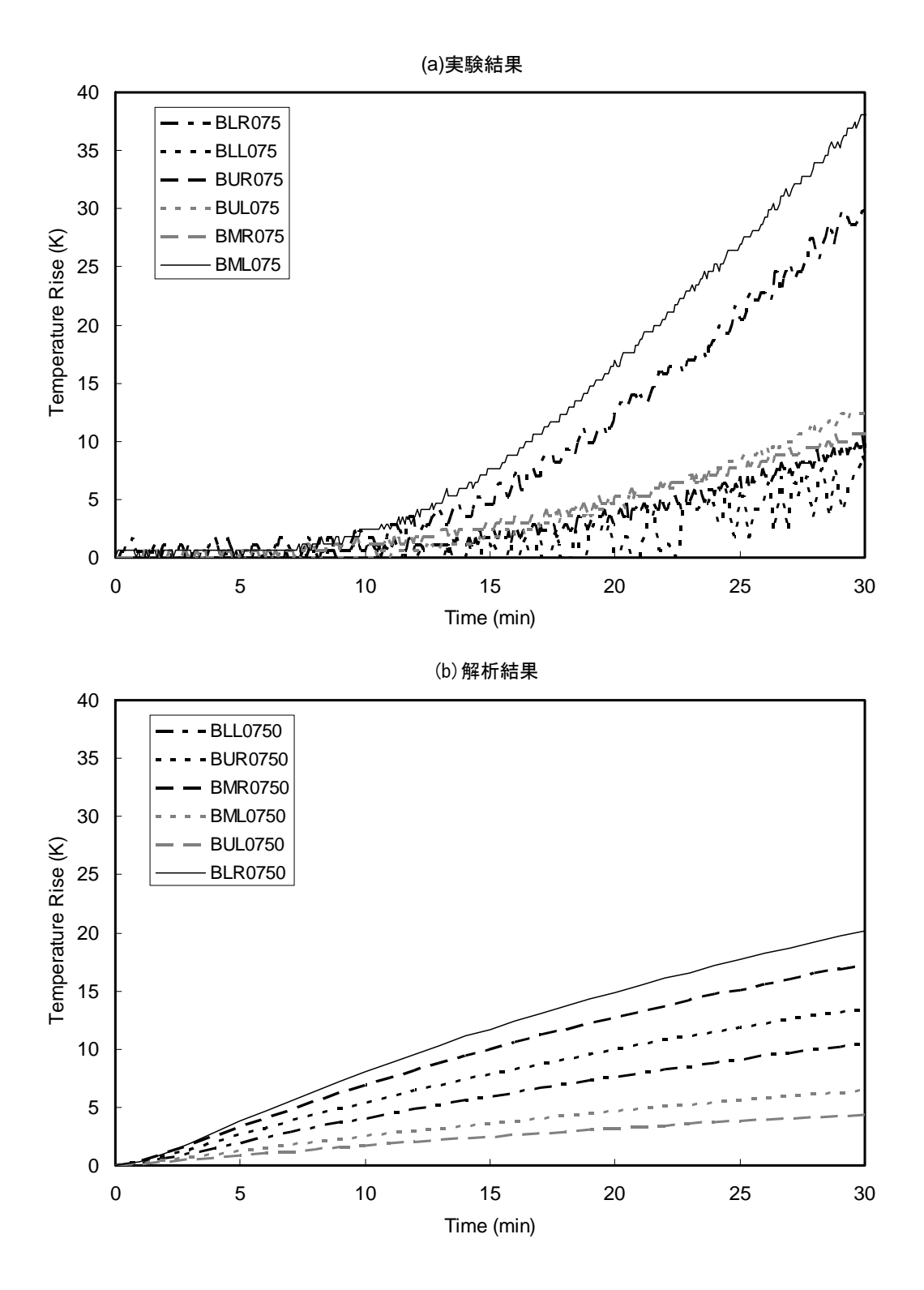


図-4.7 火炎近傍板の温度時系列

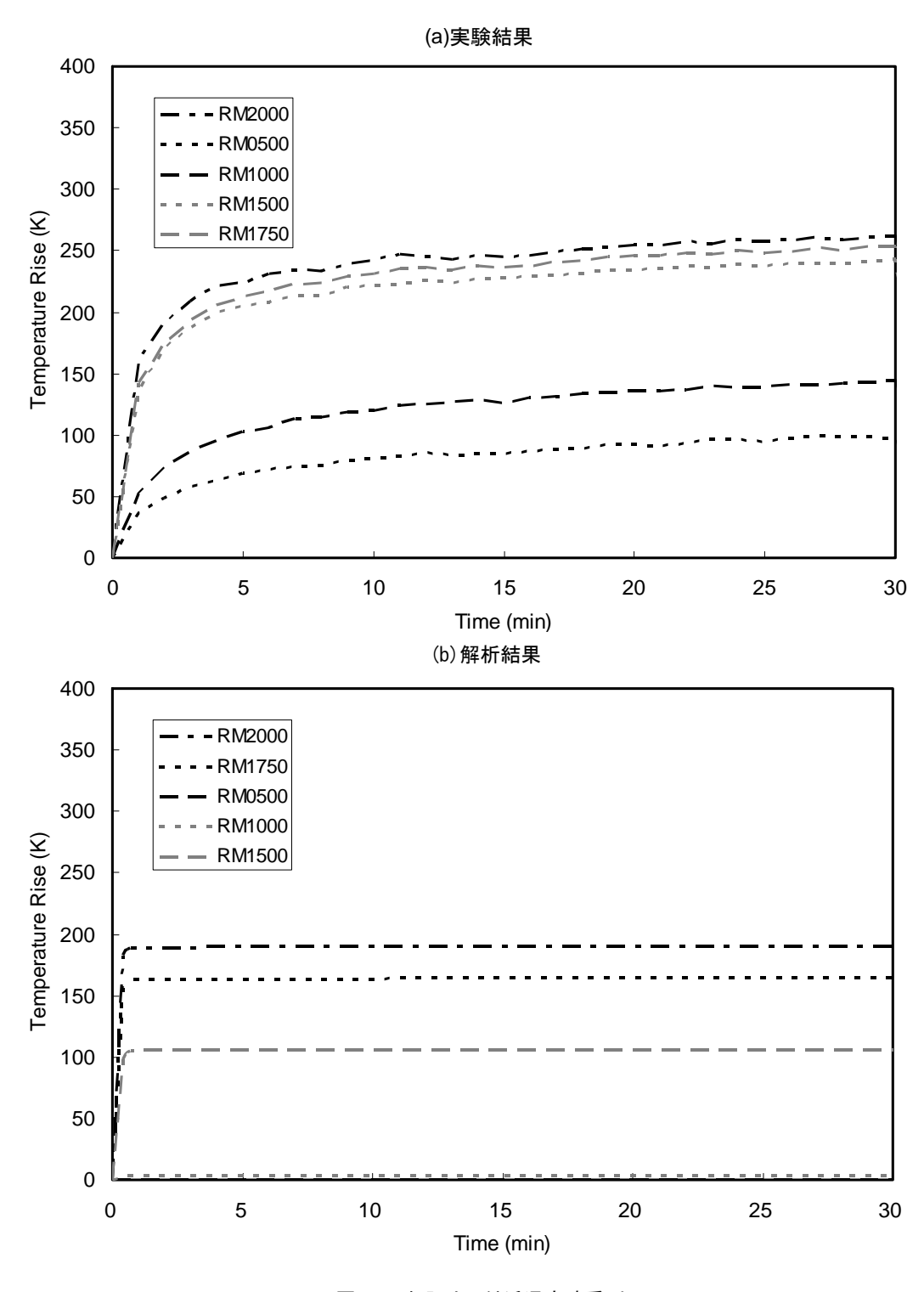


図-4.8 出入り口付近温度時系列

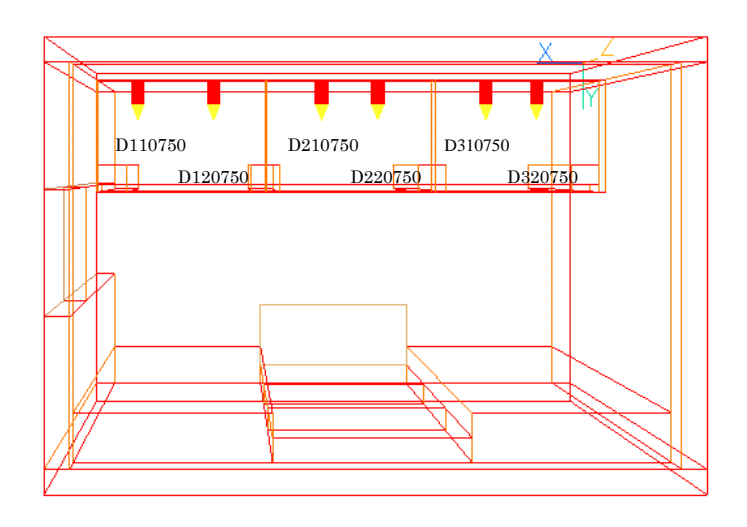


図-4.9 デッキ部計測点

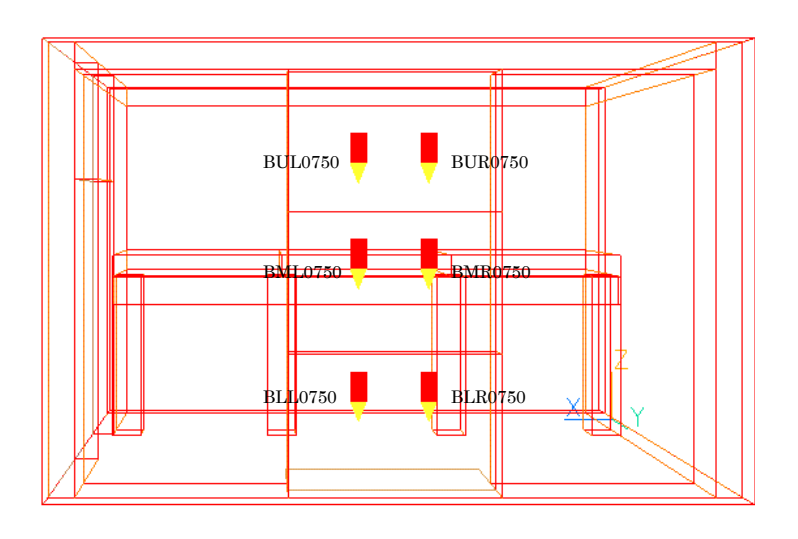


図-4.10 火炎近傍板の計測点

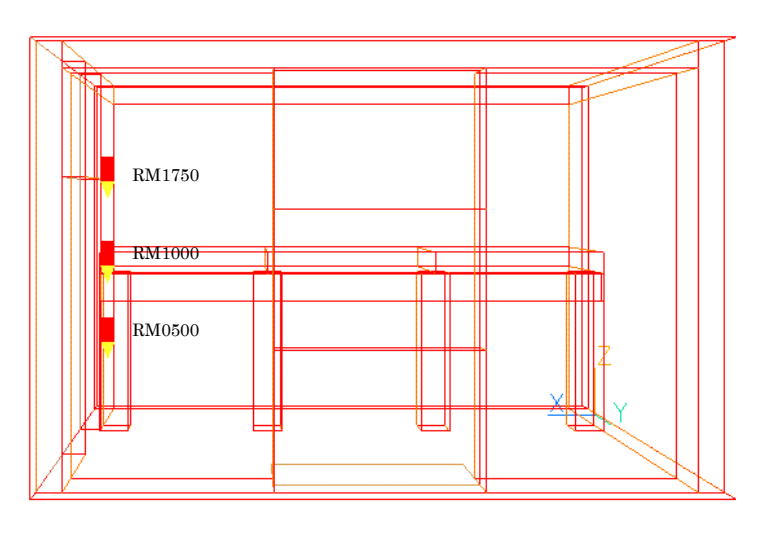


図-4.11 出入り口付近計測点

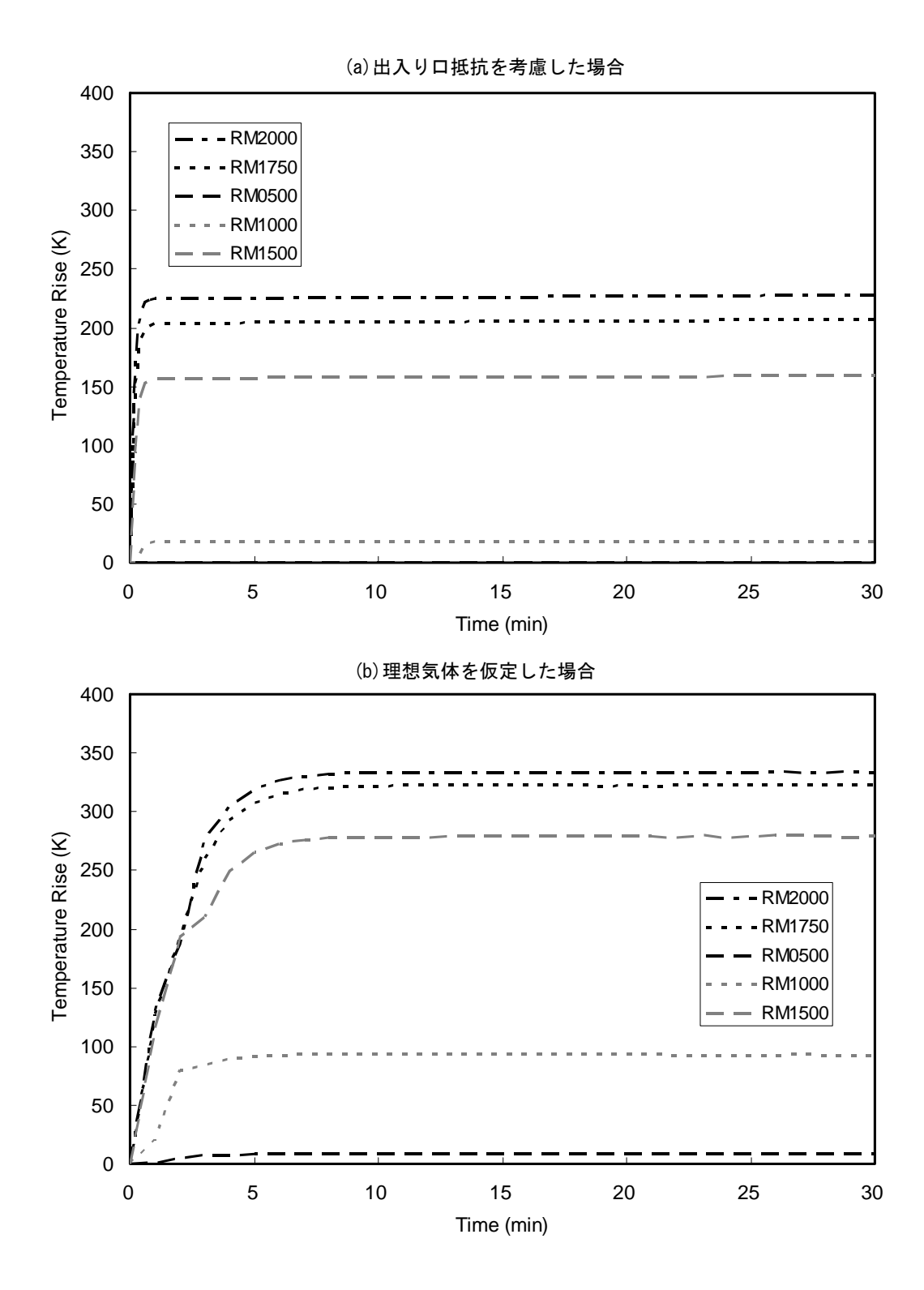


図-4.12 出入り口付近温度時系列

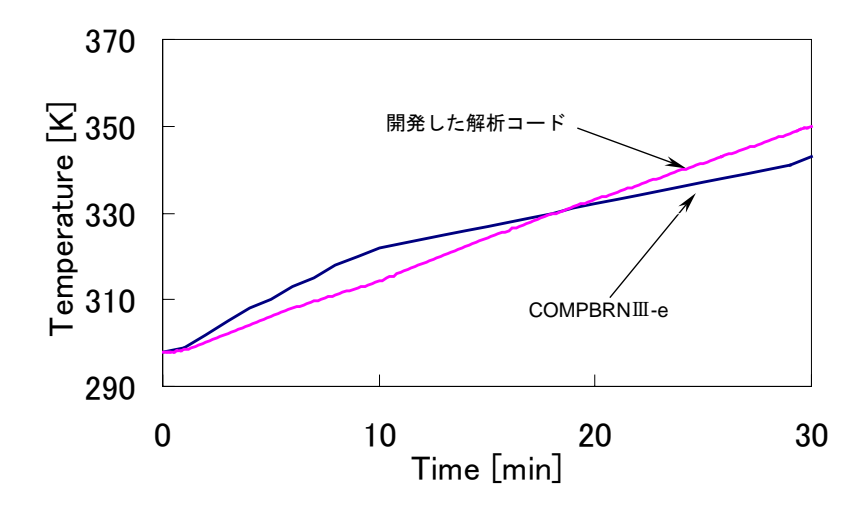


図-4.13 開発コードと COMPBRN の比較

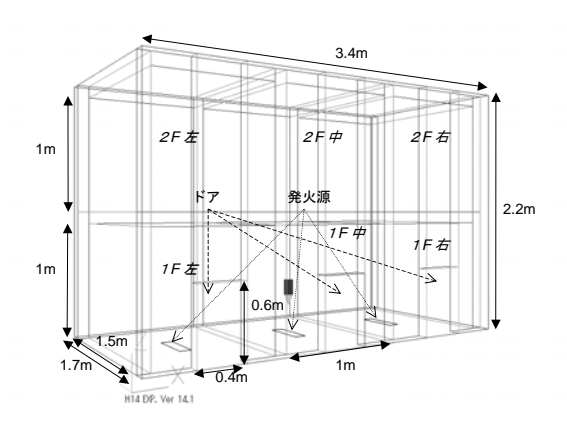


図-4.14 火災実験室レイアウト

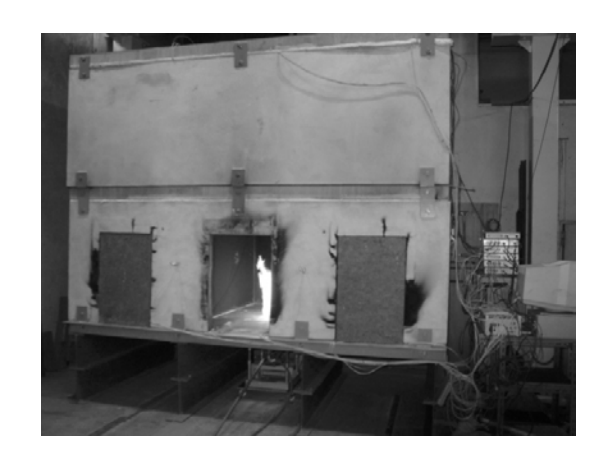


図-4.15 火災実験の様子

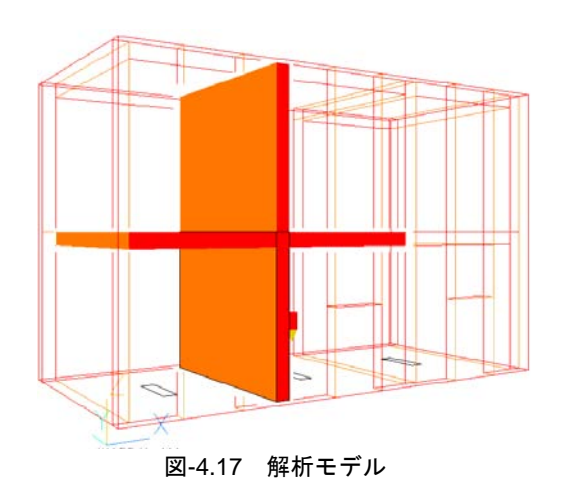




図-4.21 火災実験の様子

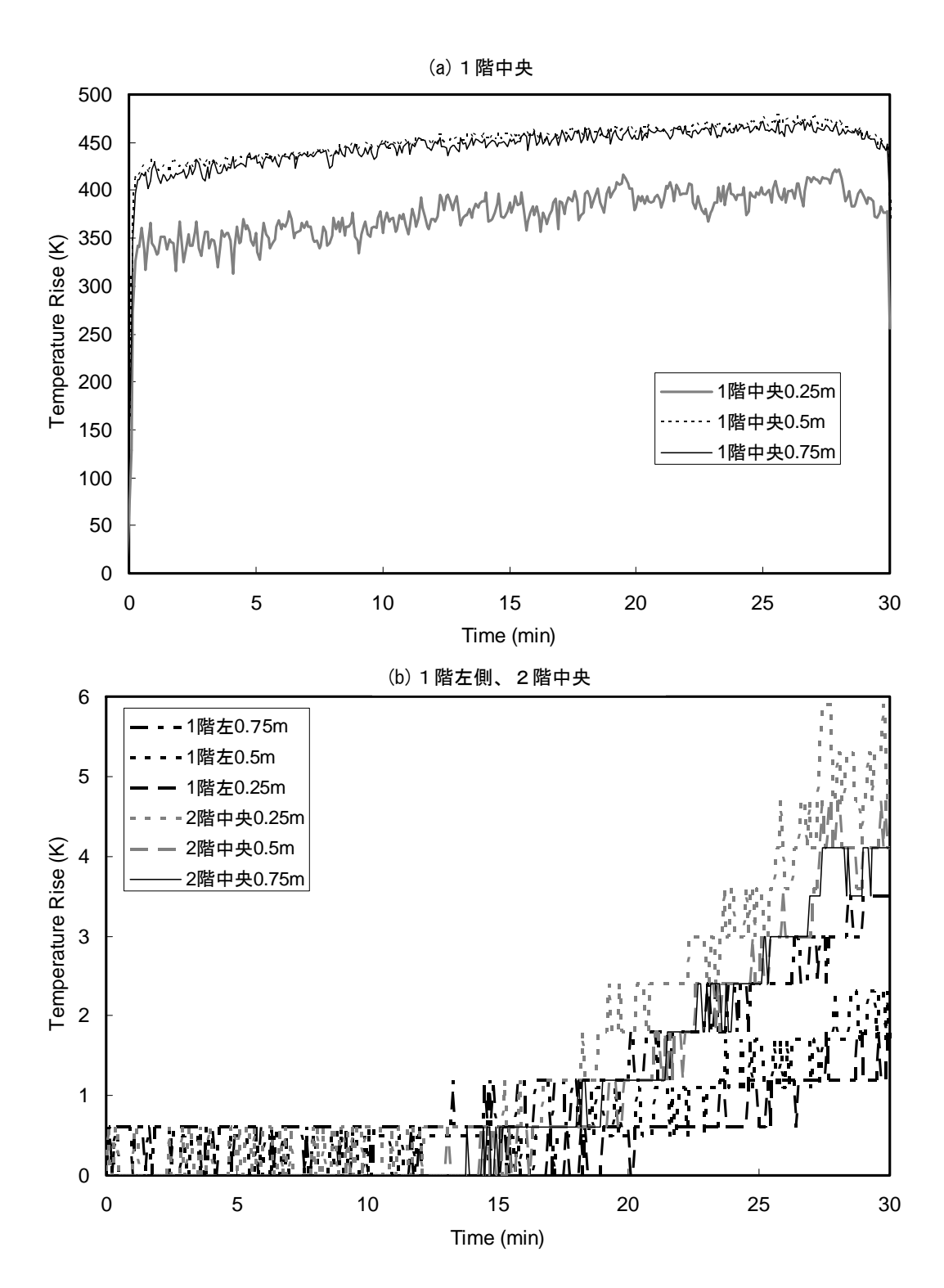


図-4.16 実験結果の温度時系列

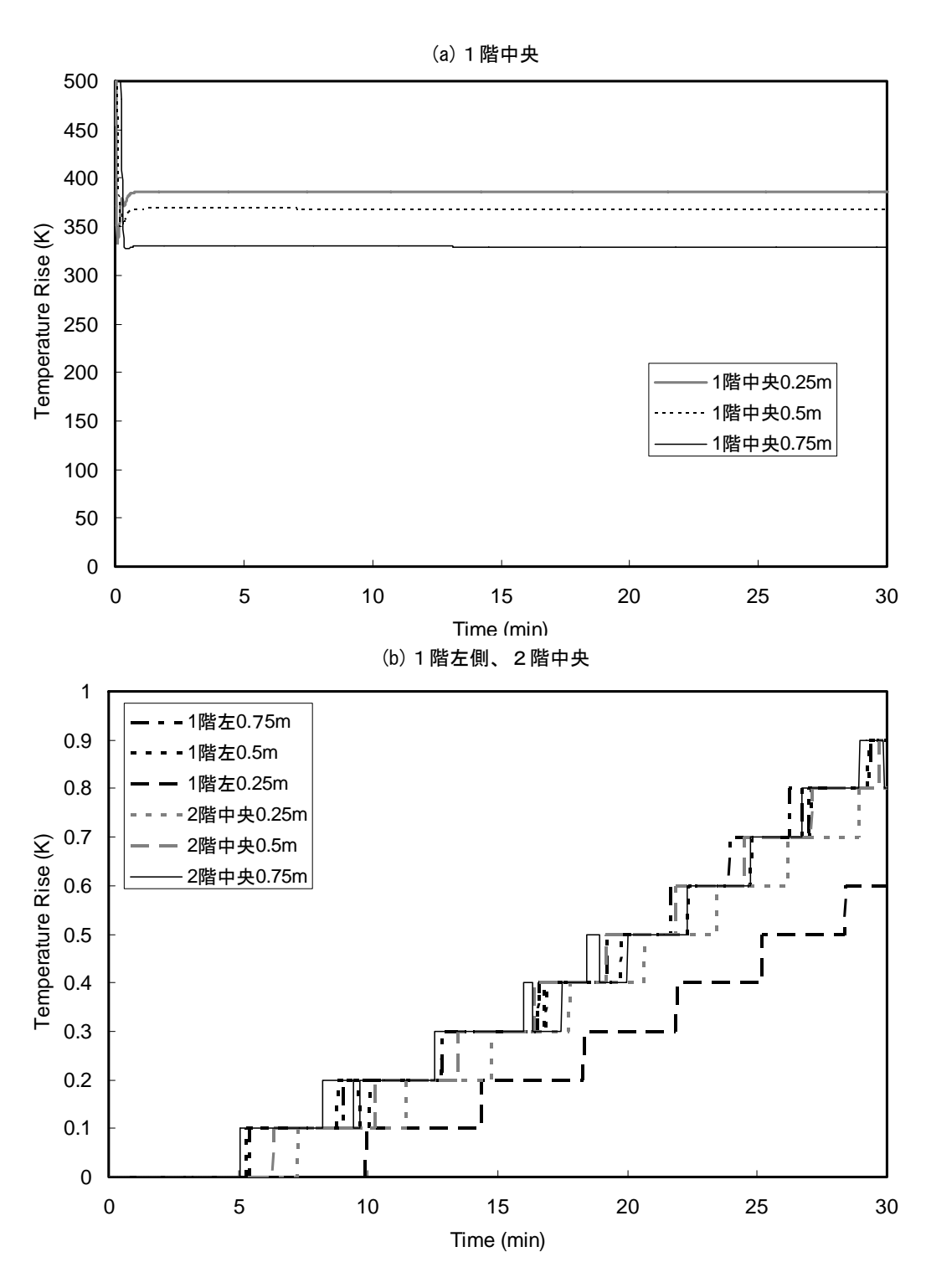


図-4.18 熱伝達率を調整した解析結果の温度時系列

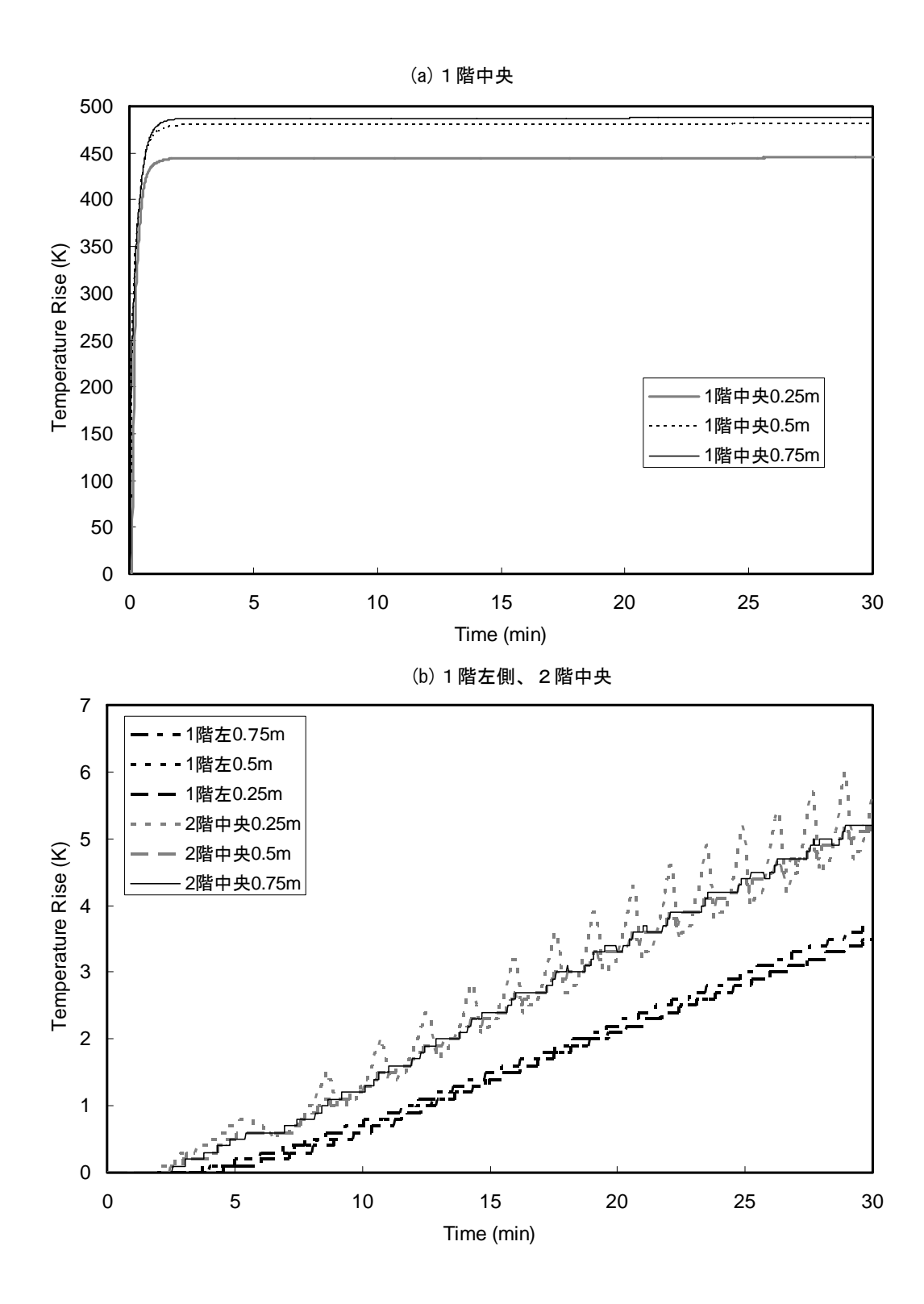


図-4.19 発熱量を再検討し熱伝達率を調整した解析結果の温度時系列

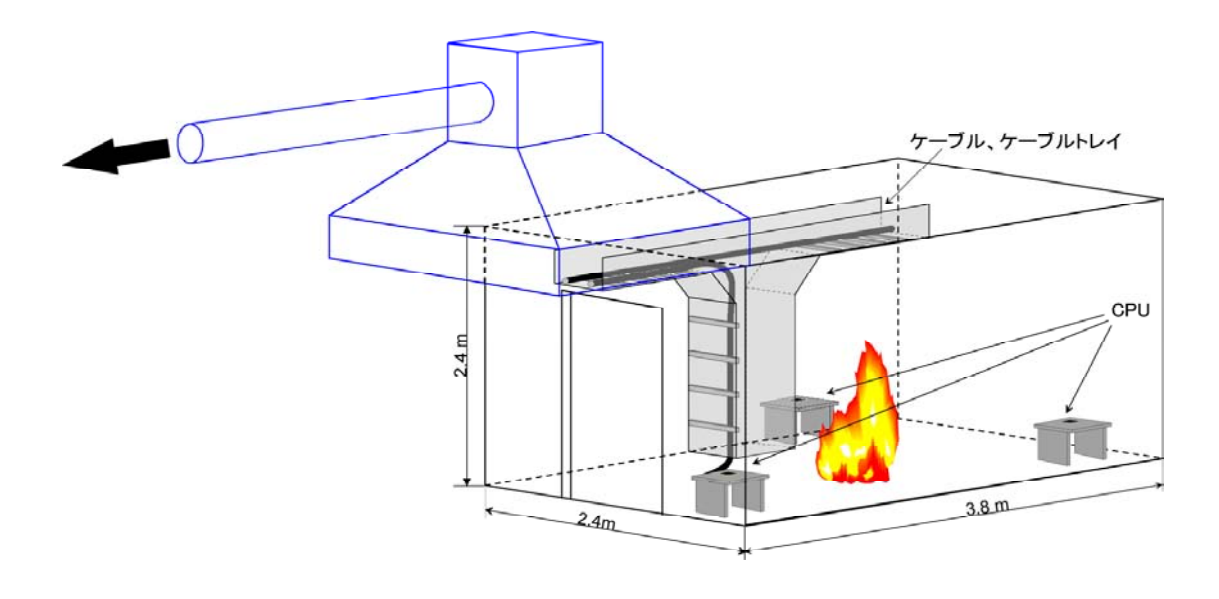
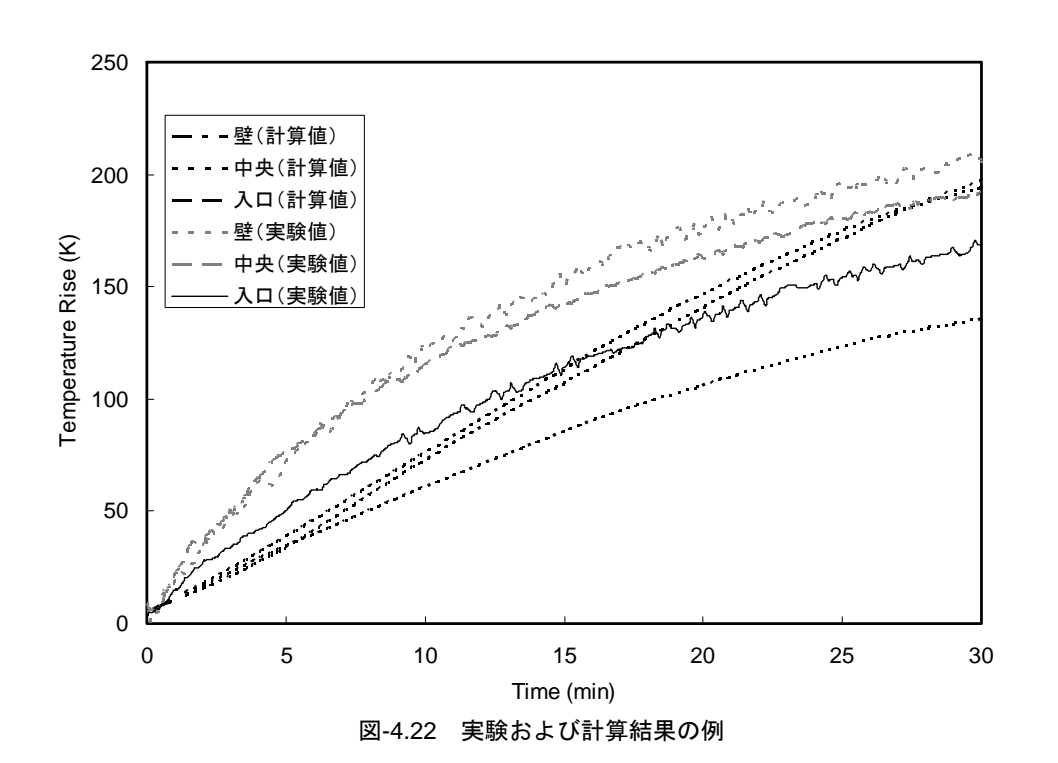


図-4.20 火災実験室のレイアウト



| 実験No. | 1 | 2 | 3 |
|--------|------------|------------|------------|
| ケーブル 1 | ショート(513K) | N/A(527K) | N/A (569K) |
| ケーブル 2 | ショート(513K) | N/A(527K) | N/A (569K) |
| ケーブル 3 | ショート(513K) | N/A(527K) | N/A (569K) |
| ケーブル 4 | 異常なし(463K) | 異常なし(463K) | ショート(508K) |
| ケーブル 5 | 異常なし(463K) | 異常なし(463K) | ショート(508K) |
| ケーブル 6 | 異常なし(463K) | 異常なし(463K) | ショート(508K) |
| CPU 1 | 異常なし(365K) | 異常なし(367K) | 異常なし(366K) |
| CPU 2 | 異常なし(372K) | 異常なし(373K) | 異常なし(387K) |
| CPU 3 | 異常なし(391K) | 異常なし(383K) | 損傷(543K) |

表-4.1 火災実験時のケーブルとCPUの損傷結果(周囲の最高温度)

ものと考えられる。この点の改善には、拡散係数 の見直し等が必要と考えているが、現在のところ有 効な対策をたてることができなかった。

一方、ケーブルトレイ表面およびその近傍、またケーブルトレイに接しているケーブルの温度変化が実験値より小さく算出された。これは、計算格子の都合上、ケーブルトレイ自体が実際の厚さより厚いため温度上昇が小さく、それ故ケーブルトレイに接しているケーブルも温度上昇が小さくなったと考えられる。しかし、ケーブルトレイを実際の厚み(数mm程度)で設定するとメッシュの数が膨大な量となり、それに従い計算時間も100時間を越えるものとなってしまい、現状では有効な対策を立てることができなかった。

5. サンプルプラント評価

これまでに開発した解析コードの評価のために、サンプルプラントを用いて同時多発火災リスクに関する評価を行った。評価を行う対象プラントとして、BWR(Type-5、 Mark II)を選定した。これは、日本原子力研究所で実施された「国内軽水炉モデルプラ

ント PSA」 4において解析対象となっており、プラント情報の入手がある程度可能であること、および、同研究所において実施された内的事象解析において作成されたイベント・ツリーが火災リスク評価にもそのまま適用できるためである。イベント・ツリーのヘッディングを構成する各種システムの一部分の機能が火災発生によりシステム動作成功確率を評価することとなるが、今回の評価では、設定火災全てについては考慮対象システムの機能が確率 1.0 で失われることとなったため、GO-FLOW解析は不要であった。

地震および火災リスク評価においては、原子力プラントの系統図とともに建物・機器の配置図、区画の構造、扉、貫通孔、電力線の位置、制御用配線の位置が重要な情報となる。これらの情報は、プラント個々により微妙に異なってくるが、本研究においては特定のプラントを対象としてはいないため、原子力安全研究協会の「軽水炉発電のあらまし」50の記載事項を主要情報源としたプラントを想定する。

表-5.1 我が国で地震により発生した原子炉停止事例(2004年5月14日まで)14)

| 発生年月日 | サイトおよびプラント名 | 事 例 内 容 |
|-------------|----------------------|--|
| 1983年7月2日 | 福島第一原子力発電所 3,6 号 | 地震発生に伴う「タービン振動大」の信号 により、タービンが自動停止し、原子炉も 自動停止 |
| 1985年11月27日 | 大飯発電所 1 号炉 | 地震に伴いタービン油圧系の水銀スイッチ の誤動作によりタービントリップし、原子 炉も自動停止 |
| 1987年4月23日 | 福島第一原子力発電所 1,3,5 号 炉 | 地震により原子炉の安全装置が作動し、原 子炉が自動停止 |
| 1993年11月27日 | 女川原子力発電所1号炉 | 地震に伴い「中性子東高高」により原子炉 も自動停止 |

5.1 シナリオ

サンプルプラント評価を行うにあたり、解析シナ リオの設定が必要となる。まず実際に起こったトラ ブル例について検討を行うこととする。地震による 原子力プラントのトラブルについては表-5.1 に示す ような原子炉の停止に関する報告があるが、これ以 外の機器の損傷等の報告例は無く、またそこから火 災が発生した報告も無い。そこで本研究の目的であ る、地震誘起の火災についての検討を行うために、 過去に報告された地震および火災の事例、火災に関 する文献、データベース等調査から潜在的な可能性 の調査・検討を行うこととする。

5.1.1 地震事例から

まず地震による事故事例から、火災には至らなか ったものの火災の発生源となる潜在的な可能性につ いて検討した。そこで阪神神戸大震災時の火力発電 所の事故調査報告書(関西電力)16)を調査した結果、 下記のような報告が見つけられた。

(1) 主タービン軸受

被害状況

主タービン軸受点検の結果、表-5.2 のとおり軸受 下半メタルに異物の噛み込み傷が発生していた。混 入した異物を分析した結果、鉄錆と判明し、これは 地震によるロッキングによって潤滑油戻り管内面に 長年にわたって徐々に付着した鉄錆が剥離・脱落し、 主油タンク入口ストレーナを通過し、給油側に回り 込み軸受に噛み込んだものと考えられる。

(2) 給水ポンプ基礎

被害状況

尼東 P/S2 号給水ポンプにおいて、定格運転時の 振動値が兵庫県南部地震以降、漸増傾向にあり、警 報値近傍にある。基礎部の構造が図-5.1のとおり中 空であり超音波による空洞測定結果およびシュミッ トハンマーによる硬度測定結果より、基礎強度が低 下している。

(3) 発電機軸受

被害状况

前項、主タービン軸受と同様の考え方で点検し た結果、表-5.3の被害が発生していた。状況は、 異物の噛み込み傷が軸受下半メタルに見られた。 混入した異物は成分分析の結果、鉄錆と判明し、 これは地震によるロッキングによって潤滑油戻り 配管内面に長年にわたって徐々に付着した鉄錆が 剥離・脱落し主油タンク、入口ストレーナを通過 し給油側へ回り込み軸受に噛み込んだと考えられ る。

5.1.2 火災事例

原子力関連施設で昭和46年~平成11年の間に 起こった火災例を表-5.4 に示す 15)。

これにより、報告されている火災例だけでもか なり多いことがわかった。また、火災の原因とし ては、メンテナンス等の作業中に使用機器から発 生した火花によるものが多い。この火花の発生の 他にも、断線などによる電気関連の原因も見られ る。火花の発生、断線といった現象は、地震発生 時にも予想されるものであり、火災の発生の可能 性は十分にあると考えられる。

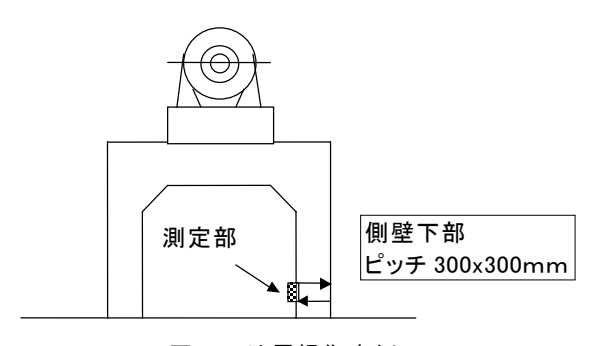


図-5.1 地震損傷事例

| 表-52 = | 主ター | ビン軸 | 受被害状 | 況調査結果 |
|--------|-----|-----|------|-------|
|--------|-----|-----|------|-------|

| X **= = ; = ; | | | | | |
|---------------|-----------|----------|-----------|-----------|-----|
| 所 別 | 尼東 | ₹ P/S | | 尼 三 P/S | S |
| 状 況 | 1 号 | 2 号 | 1 号 | 2 号 | 3 号 |
| | #4 軸受 | #1 軸受 | #3,4 軸受 | #3,4 軸受 | |
| 異物噛み込み傷 | 下半メタル | 下半メタル | 下半メタル | 下半メタル | |
| | 深さ 0.03mm | 深さ 0.2mm | 深さ 0.05mm | 深さ 0.17mm | |

表-53 発雷機軸受被害状況調查結果

| X or New and North And New and And New and And New And | | | | | | |
|--|--------------|------|------|------------------|------|-------|
| 所 別 | 尼東 | P/S | 尼 | と 三 P | /S | 備考 |
| 部 位 | 1 号 | 2 号 | 1号 | 2 号 | 3 号 | IM 77 |
| 異物噛み込み傷 | #5, #6 軸受 | 異常なし | 異常なし | #5, #6, #7 軸受 | 異常なし | 下半メタル |

表-5.4 原子力関連施設における火災事例

| 年月日 | 施設名 | 場所 | 出火原因 | 火災状況 | 備考 |
|---------------|--------------------------------|----------------|---------------------------------|---|----|
| S42-11-1 8 | 日本原子力発電東海 | | 潤滑油ストレーナ切り 替えハンドルの操作ミ ス | | |
| S46-5-17 | 岩崎電気 (株) 第4工場 A棟 | 作業所 | ダクト内汚物の異常燃 焼と推定 | 30 m ² | |
| S51-4-2 | 東京電力福島第1原子 力発電所2号機 | タービン建屋 | 溶接機の火花 | 部分焼・焼損物品:ケーブル線 (フレキシブ ルコソジェット) | 1) |
| S52-3-25 | 東京電力福島第1原子 力発電所1号機 | 原子炉建屋 | アセチレン溶断の火花 | ぼや・焼損物品:吸排 気管・計器・ホース等 | 1) |
| S54-3-13 | 安全管理棟 (作業所) | 東海事業所 | 分析試料を加熱中、試料 に着火 | なし | 3 |
| S60-3-15 | 東京電力福島第1原子 力発電所5号機 | タービン建屋 | プロパンガスバーナー の使用を誤る | 部分焼・焼損物品:作 業服 | 1 |
| S60-8-31 | 東京電力福島第1原子 力発電所1号機 | タービン建屋 | アーク放電 | 部分焼・焼損物品・建 屋内送電キュービクル ケーブル | 1) |
| S60-9-27 | 東京電力福島第1原子 力発電所5号機 | タービン建屋 | 過酸化水素水の漏洩によ り化学反応を起こし発火 | | 4 |
| S60-10-1 6 | 核燃料サイクルふげん 発電所 | 原子炉主建屋 | 電工ドラム | 1 m² | 1 |
| S61-1-17 | 東京電力福島第1原子 力発電所2号機原子力 建屋 | | アセチレン溶接の火花 | ぼや・焼損物品:ポリ袋・ガスバーナー・ホ ース等 | 1) |
| S63-1-13 | 東京電力福島第1原子 力発電所6号機 | タービン建屋 | 自然発火と推定 | 部分焼・焼損物品:エ アーバグフィルター・ コイル等 | |
| H3-11-26 | 東京電力福島第1原子 力発電所3号機 | タービン建屋 | 溶接の接続コネクター 不良のため | 部分焼・焼損物品:キャブタイヤ・ウエス・ 足場板 | 2 |
| H4-11-19 | 石津製薬(株)西宮工 場 危険物貯蔵庫 | 工場 | 危険物貯蔵庫の取り扱 い不良 | 危険物屋内貯蔵所(延 べ62m²)の内壁・床お よび貯蔵していた硝 酸、硫酸ならびに過酸 化水素を焦燥したもの (焼損表面積7m²) | |
| H5-2-13 | 東京電力(株)柏崎刈 羽原子力発電所1号機 | 水処理建屋 | 遮断機内部の結露によ る絶縁低下、アーク放電 | | |
| H5-3-18 | 東京電力福島第1原子 力発電所2号機 | | | 管の内張りゴムライニ ング等 | 1 |
| H6-1-10 | アイソトープ総合セン ター箱崎地区実験室1 階 | | ホットプレートの異常 加熱 | ホットプレートより発 火、無菌ボックスドラ フトチャンバーに延焼 | 3 |
| H7-3-24 | 泊発電所 | | 照明用ライトの熱が気 化した洗浄剤に引火し たもの | | |
| H7-11-27 | 中部電力(株)浜岡原 子力発電所3号機 | タービン建屋地 上3階 | ケーブルの半断線によ る発熱 | ケーブルおよび工事用 ビニールハウス | 2 |

| 年月日 | 施設名 | 場所 | 出火原因 | 火災状況 | 備考 |
|---------------|--------------------------|-----------------|--|--------------------------------------|-----|
| H7-12-8 | | | Na配管より漏洩したNa が空気と反応 | 焼損床面積:4 m² | |
| H8-1-20 | 中部電力(株)浜岡原 子力発電所3号機 | | 過酸化水素水ウエスの 酸化発熱反応 | 可燃物を入れたポリ袋 | |
| H8-6-13 | 東京電力福島第1原子 力発電所4号機 | 原子炉建屋 | アセチレンガス溶断の 火花 | 部分焼・焼損物品:補 助ボイラ保温材 | 1 |
| H8-9-7 | — | | 絶縁ホルダーに付着した 塵埃が導体間スパーク | 電源盤バスダクト | (5) |
| H8-10-23 | 東京電力福島第1原子 | タービン建屋1 | アセチレンガス溶断の 火花 | ぼや・焼損物品:出入 ロバリアの養生ビニー ルシート天井部分 | 1) |
| H9-1-17 | 東京電力福島第2原子 力発電所2号機 | | 使用後の高温器具から 亜鉛メッキ塗料に引火 | | 3 |
| H9-1-19 | 東京電力福島第2原子 力発電所第3·4号機 | 廃棄物処理建屋 | | 予熱機低部が廃棄物処 理建屋溶融し燃焼 | |
| H9-1-22 | 放射線医学総合研究所 R1棟屋上 | 研究施設 | 屋外引きこみケーブル の半断線による短絡 | 空調設備の屋外機1機 焼損 | 6 |
| H9-3-11 | 東海事業所 | 化処理施設 | アスファルト加工機から 排出したアスファルト混 合体の温度が高めであっ たため、ドラム缶内で蓄 熱し塩とアスファルトの 反応により出火 | アスファルト固化体の | |
| H9-11-20 | 日本原子力研究所ウラン濃縮棟 | 研究施設 | 不明 | 焼損部:2m ² | |
| H10-1-9 | | 原子炉建屋地下 3階通路 | ガソリンを使って油冷却 管掃除中、可燃性蒸気に ガストーチの火が引火 | | 1) |
| H10-2-23 | 放射線医学総合研究所 アルファ線棟屋上 | 研究施設 | 解体工事中のアセチレン切断火花 | 空調設備の屋外機1機 焼損 | 1 |
| H10-10-9 | 東京電力福島第1原子 | 原子炉建屋1階 | アセチレンガス溶断の 火花 | ぼや・焼損物品:養生 シート | 1 |
| H10-11-2 0 | 東海発電所ホットワー クショップ1階 | 発電所 | 溶断作業時に火花がフィルターに引火 | 仮設の局所排風機フィ ルターの延焼 | 1 |
| H10-11-3 | | | 溶接の火花が床を養生 するビニールシートに 落下 | | 1) |
| H10-12-7 | | | 引火性ガスに電動レン チの火花が発生して引 火 | | 1) |
| H11-1-19 | 東京電力福島第2原子 力発電所 | 廃棄物処理建屋 | 空気予熱器の誤信号に よる誤動作 | 空気予熱器 | |
| H11-1-25 | | タービン建屋2 階 | 照明用の白熱灯が割れ て火花が発生し発火 | ぼや・焼損物品:シンナー・補修用ガラス繊 維 | 7 |
| H11-3-21 | 日本原子力研究所第3 研究棟地下1階 | 研究施設 | 溶接の火花 | 0.5x0.5m焼損 | 1) |
| H11-7-29 | 日本原子力研究所 JFT-2建屋1階 | | 端子部の接触不良のま ま連続運転したため、接 触抵抗が増大、温度が上 昇した | | 8 |

| 年月日 | 施設名 | 場所 | 出火原因 | 火災状況 | 備考 |
|----------|--------------------------|-----------------|--|-----------------------|----|
| H11-9-20 | 東京電力(株)柏崎刈 羽原子力発電所5号機 | | インバータ回路に異常 電流が発生し、抵抗器が 加熱、コンデンサが発火 | インバータ1個 | 9 |
| 11111111 | 日本原子力研究所むつ 事業所 | 機材排水管理棟 1階倉庫 | 調査中 | 出入管理装置1台燒損 | |
| U19-9-0 | 東北電力(株)女川発 電所2号 | 原子炉建屋 | | エチレン酢酸ビニール シート約30㎡ | |
| H12-6-19 | | | サブドレンポンプ制御 盤内の過電流 | 変圧器 | |

表-5.5 場所・区域ごとの火災事例

| 埠 | 易 所 、 区 域 | 件 数 |
|----|-----------|-----|
| 原 | タービン建屋 | 11 |
| 力 | 海水熱交換機建屋 | 1 |
| 発 | 原子炉建屋 | 12 |
| 電所 | その他 | 7 |
| その | 他関連施設 | 11 |

表-5.4 を火災発生場所毎に整理したものが表-5.5 である。タービン建屋と原子炉建屋が多いが、これらは点検中の事故が多いことによるものと考えられる。

表-5.4 中の備考欄で分類した① \sim ⑨について、各 火災事例が地震により発生し得るかについて検討を 行う。

- ① については、点検、補修などの作業中の火花等によるもので、そのための工具等が発火源と考えられるため、今回は除外する。
- ② 断線等の電気系統の不具合が原因として考えられ、対象とする。(a)
- ③ についても、実験中という特別な環境であり除 外する。
- ④ については、過酸化水素水が空気中では発火してしまう。地震により、これを保管するタンクが破損し火災の発生となることは考え得ることである。(b)
- ⑤ については、地震時の何らかの異物混入による 原因で起こり得る現象である。 (c)
- ⑥ について、半断線による短絡が火災原因だが、

断線等は地震時には発生し易いもののひとつであり、②と同じに扱う。(a)

- ⑦ については、地震時の照明機器の破損は十分 に考え得ることである。(d)
- ⑧ については、地震により電気器具等の接触不 良は起こり得ることである。(c)
- ⑨ については、地震の発生により電気機器の制御機能に異常が発生するというようなことは考えられる。(e)

したがって、図-5.2 に示すようなシナリオが考え 得る。表中の実例以外にも、例えば(b)のタイプと して、地震により非常用発電機室のディーゼル発 電機とデイタンク付近からの燃料漏れの発生が考 えられる。

5.1.3 火災防護指針より

原子力発電所の火災防護指針 JEAG 4607-1999 (社団法人 日本電気協会 原子力専門部会) 17) によれば火災を起こす可能性のある液体を幾つか 掲載しているが、過去の火災事例の検討への追加 という点から検討した結果、ここでは次に示す燃料油類について示す。

発火性または引火性液体として、プラント内に は燃料油等が存在する。油を内包する機器として は、

- ・ ディーゼル発電機
- ディーゼル発電機デイタンク
- ディーゼル発電機油貯蔵タンク(または軽油

地震の発生

- a. 断線等の発生
- b. タービン建屋において過酸化水素水タンクが破損
- c. 電気的に接触している個所に異物の混入
- d. 電球等の破損
- e. 電気機器の制御部の異常の発生

図-5.2 火災事例から想定されたシナリオ

火災の発生

タンク)

- ・ タービン発電機
- タービン主油タンク
- 油清浄機
- 油計量タンク(または油貯蔵タンク)
- 給水ポンプタービン主油タンク
- 補助ボイラ燃料タンク(または重油タンク)
- 屋外変圧器
- 発電機密封油処理装置
- EHC 制御油圧ユニット
- 充てん/高圧注入ポンプ (PWR のみ)
- 一次冷却材ポンプモーター(PWR のみ)
- 再循環ポンプ MG セット (BWR のみ)
- 給水ポンプタービン油清浄機
- 主給水ポンプ(または給水ポンプ)
- タービン駆動補助給水ポンプ(またはタービン 駆動給水ポンプ)
- ボイラ
- 制御用空気圧縮機

等がある。これらの液体から発火した場合には大規 模火災になる可能性が高いものが含まれている。さ らにこれらの検討結果から、同指針では、BWR の 想定火災のエリアとしては下記のエリアを指定して いる。

①油

ディーゼル発電機エリア ディタンク・エリア タービン発電エリア 主油タンクエリア 油貯蔵タンクエリア 給水ポンプエリア 発電機水素ガス密封装置エリア 主変圧器エリア 所内変圧器エリア 補助ボイラ燃料タンク (または重油タンク) 起動用変圧器エリア 補助変圧器エリア 再循環ポンプ MG セットエリア

2 水素

発電機冷却用水素ガス供給設備エリア 発電機エリア

空気抽出器排ガス系エリア

蓄電池エリア

③ 電気火災

ケーブルトレイ

以上の機器、エリア等についてはシナリオの検 討の際に参考とする。

EPRI Nuclear-Power-Plant Fire-Loss Data より 18)

EPRI(Electric Power Research Institute, 米国 の電力研究所)の Nuclear-Power-Plant Fire-Loss Data では、火災事例の報告の中でモーター、デ ィーゼル発電機の事例がある。原因は、潤滑油切 れと軸のずれの重畳効果による摺動部からの発熱 によるものや、漏れたオイルがポンプ等の高温部 に接触したことによる事例がある。

5.1.5 解析対象シナリオ

これまでに述べた事例等から、解析対象とする 区画、シナリオについて検討する。

まず地震の事例(5.1.1)から検討する対象とし て、地震により何らかの理由で摺動部に異物が混 入、これにより発熱、発火してしまうケースが考 えられる。実際、このような摺動部が原因となる 火災報告は EPRI の報告 (5.1.4) にもある。この ような対象区画としては、設計強度が低い海水熱 交換器室のポンプが考えられる(f)。

火災事例(5.1.2)からは、すでに述べたように a~eのシナリオが考えられる。これらの中で、b の過酸化水素水は火災防護指針(5.1.3)でも指摘 されている液体である。また同様の可燃物が原因 となるシナリオ例として、ディーゼル発電機とデ イタンクからの燃料漏れが検討事項として考えら れ、燃料漏れによる火災は大規模火災になること が予想されることから検討シナリオとして追加す る (g)。

以上の検討結果から、f,gとして図-5.3のシナ リオを追加する。

これまでの検討から、解析対象となるシナリオ の設定を行った。次に解析を行うにあたり、各対 象区画、データ等の情報が入手できることが重要 であるが、調査の結果、サンプルプラント評価と して利用できる情報が得られた評価対象区画とし

地震の発生

f. 異物の混入により摺動部が高熱を発生

非常用発電機周辺から燃料の漏れ g.

図-5.3 追加されたシナリオ

火災の発生

ては、スイッチ・ギア室、非常用発電機室、海水熱交換機室、操作室であり、これらを対象とするシナリオとしては c, d, e, f, g である。各区画のレイアウトおよび物性等は参考文献等を参考とした。図-4.1に示した非常用発電機室のレイアウトがそれらの一例である。

5.2 イベント・ツリーの作成

本評価に用いる火災発生に伴う起因事象に対するイベント・ツリーを作成する。このイベント・ツリーは松岡らの報告書¹⁾と同様、内的事象解析におけるイベント・ツリー¹⁹⁾を考慮し、火災による境界条件を内的事象のイベント・ツリーに加えることにより火災時におけるイベント・ツリーを作成した。図-5.4~16 に本解析に用いたイベント・ツリーの例を示す。これらのイベント・ツリーの詳細については渡辺らの報告書¹⁹⁾等を参照されたい。

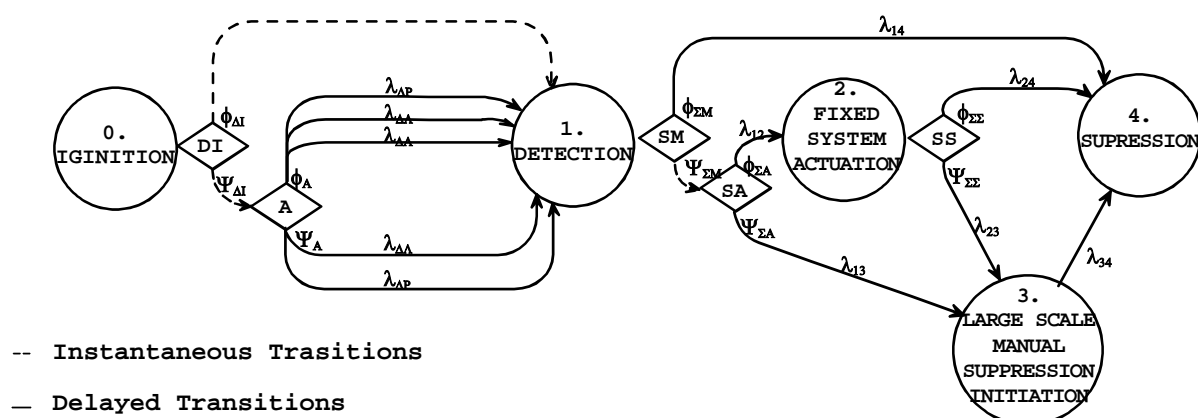
これらのイベント・ツリーの右端には、起因事象 が発生した場合における各シーケンスの発生確率値 を与えてある。実際のシーケンスの発生頻度を求める際には、起因事象の発生頻度とここにあげた 各シーケンスの発生確率の積を取ればよい。

以上のイベント・ツリーは本研究所で開発したイベント・ツリー解析支援システム MSET(Maritime Safety Event Tree Analysis) 20 を用いて作成した。また、本解析における複数システム間の共通原因故障の従属性、およびヘディング間の従属性については松岡らの報告書 11 と同様にした。

これらイベント・ツリーにおいて、地震および 火災により損傷した機器の関係するヘディングの 分岐確率を修正し各シーケンスの発生頻度を求め、 さらにこれらを整理することにより最終的に炉心 損傷頻度への影響を評価することができる。

5.3 消火活動について

消火成功確率を求める方法としては、消火活動 にあてられる時間と消火成功確率との関係として、

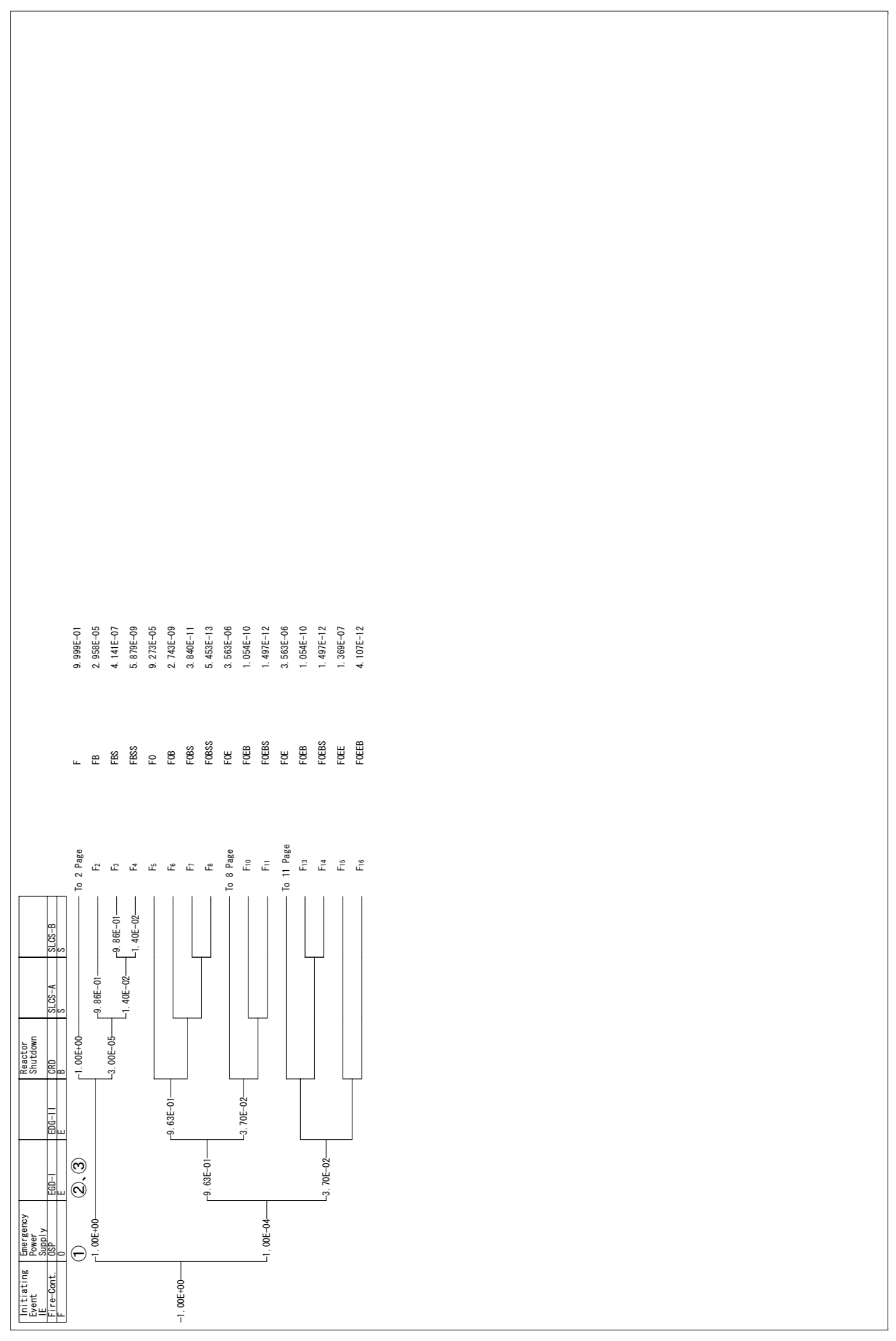


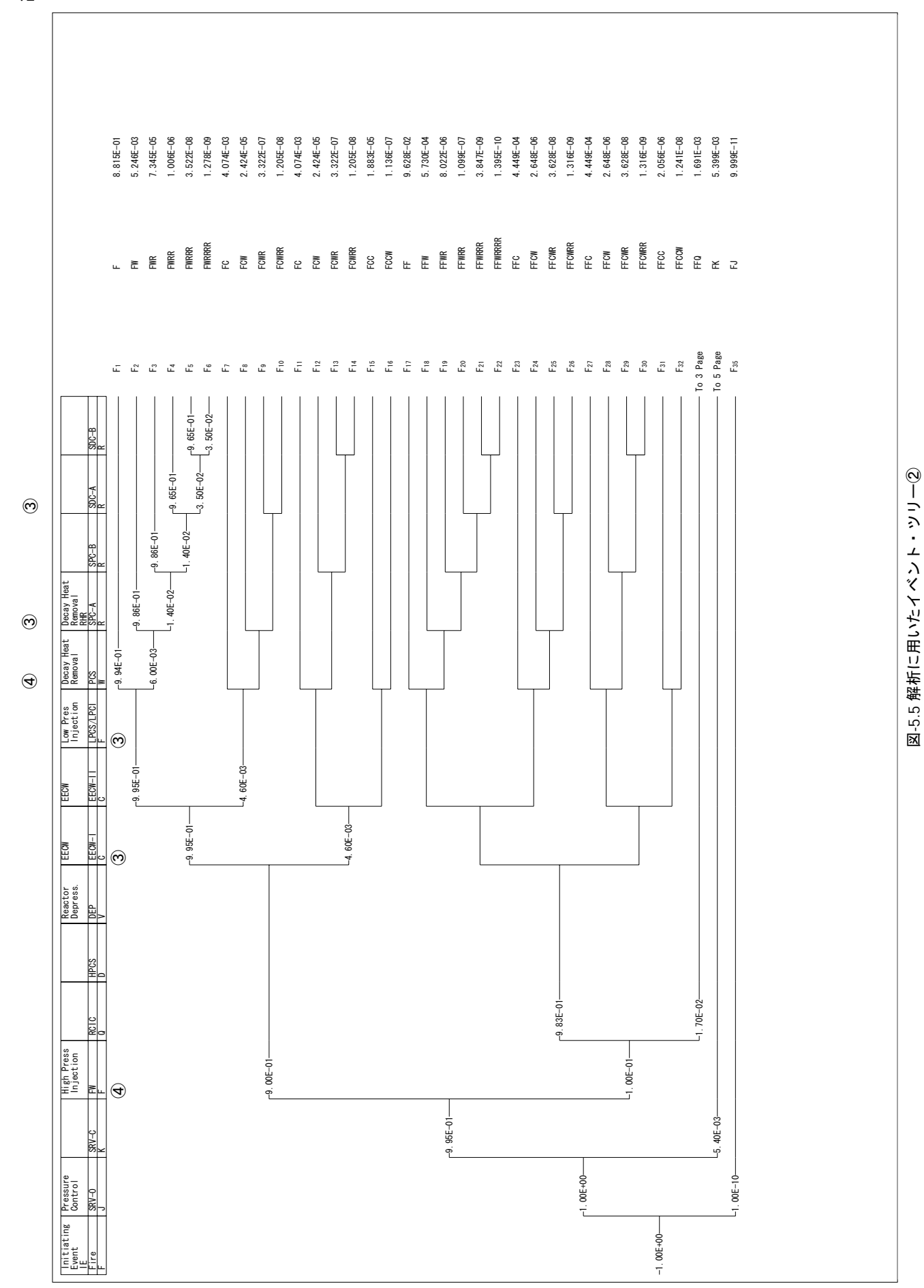
- 201a, 0a 11ans1010ns
- DI Detected Instantaneously?
- A Automatic Detectors Available?
- SM Initial Manual Suppression Successful?
 (by on-site personnel)
- SA Fixed Suppression Systems Available and Successfeul Actuated?
- SS Fixed Suppression Systems Successful?

図-5.17 消火作業のモデル

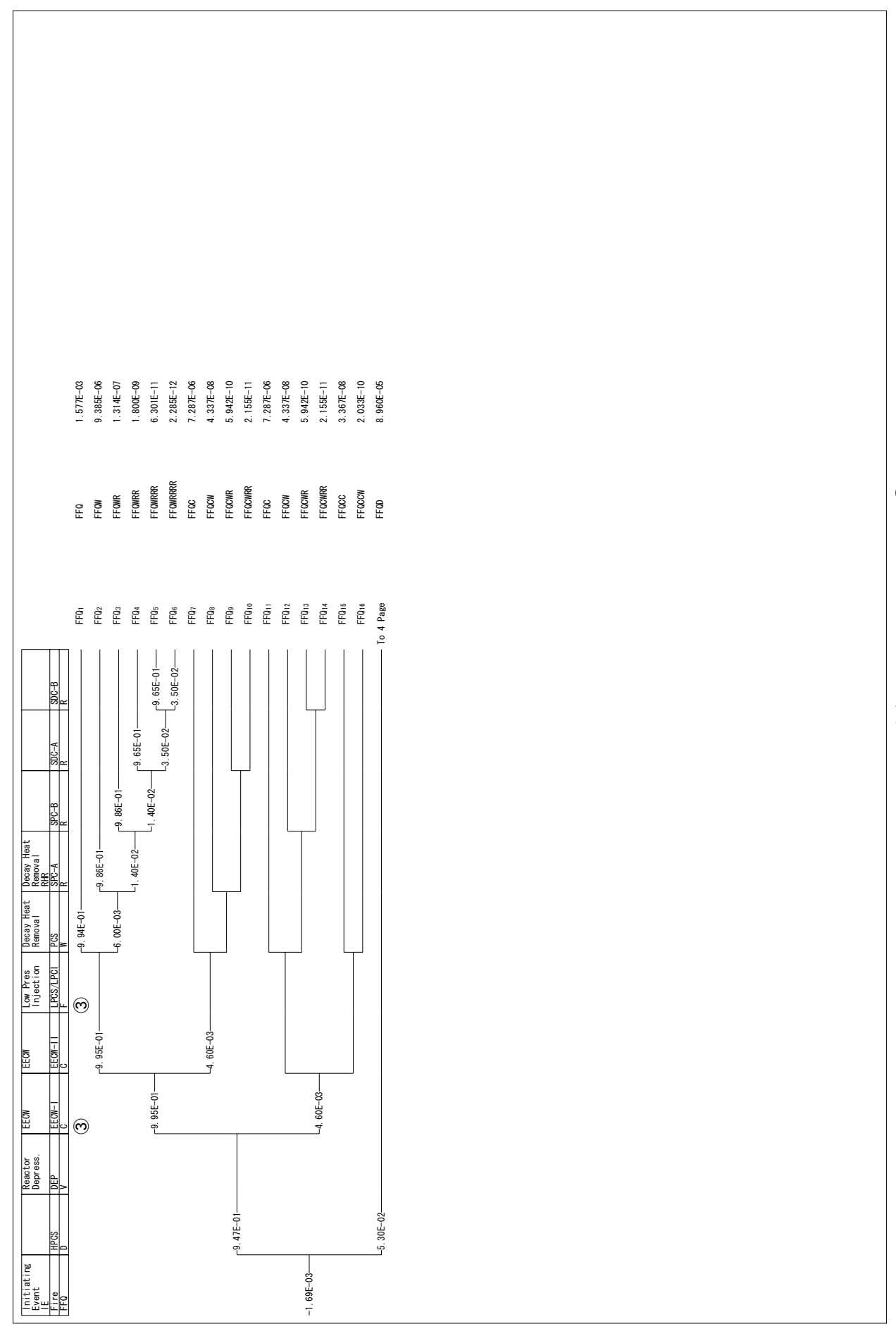
表-5.5 消火成功確率

| 火災区画 | と 区 画 損 傷 機 器 | | 消火成 | 功確率 |
|----------|---------------|---------|----------|--------|
| | 頂 物 饭 硷 | 損傷までの時間 | 経路 1-3-4 | 経路 1-4 |
| スイッチ・ギア室 | 分電盤 | 5 分 | 0.0 | 0.04 |
| 非常用発電機室 | 発電機コイル巻線 | 30 分 | 0.025 | 0.61 |
| 海水熱交換器室 | RHRS ポンプ | 35 分 | 0.09 | 0.84 |
| 制御室 | 主制御盤 | 1分 | 0.0 | 0.04 |





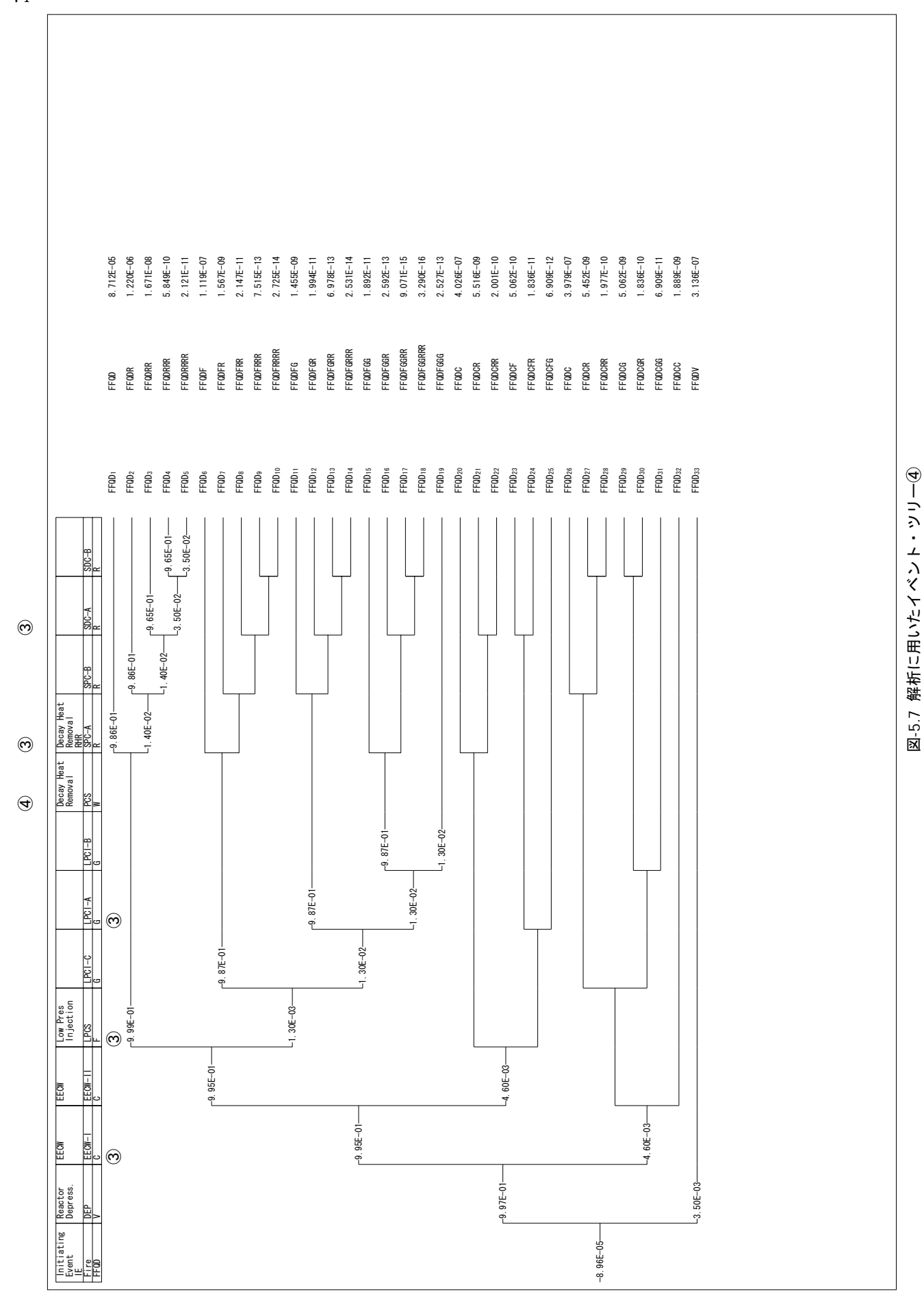
(72)



(m)

(

4



(74)



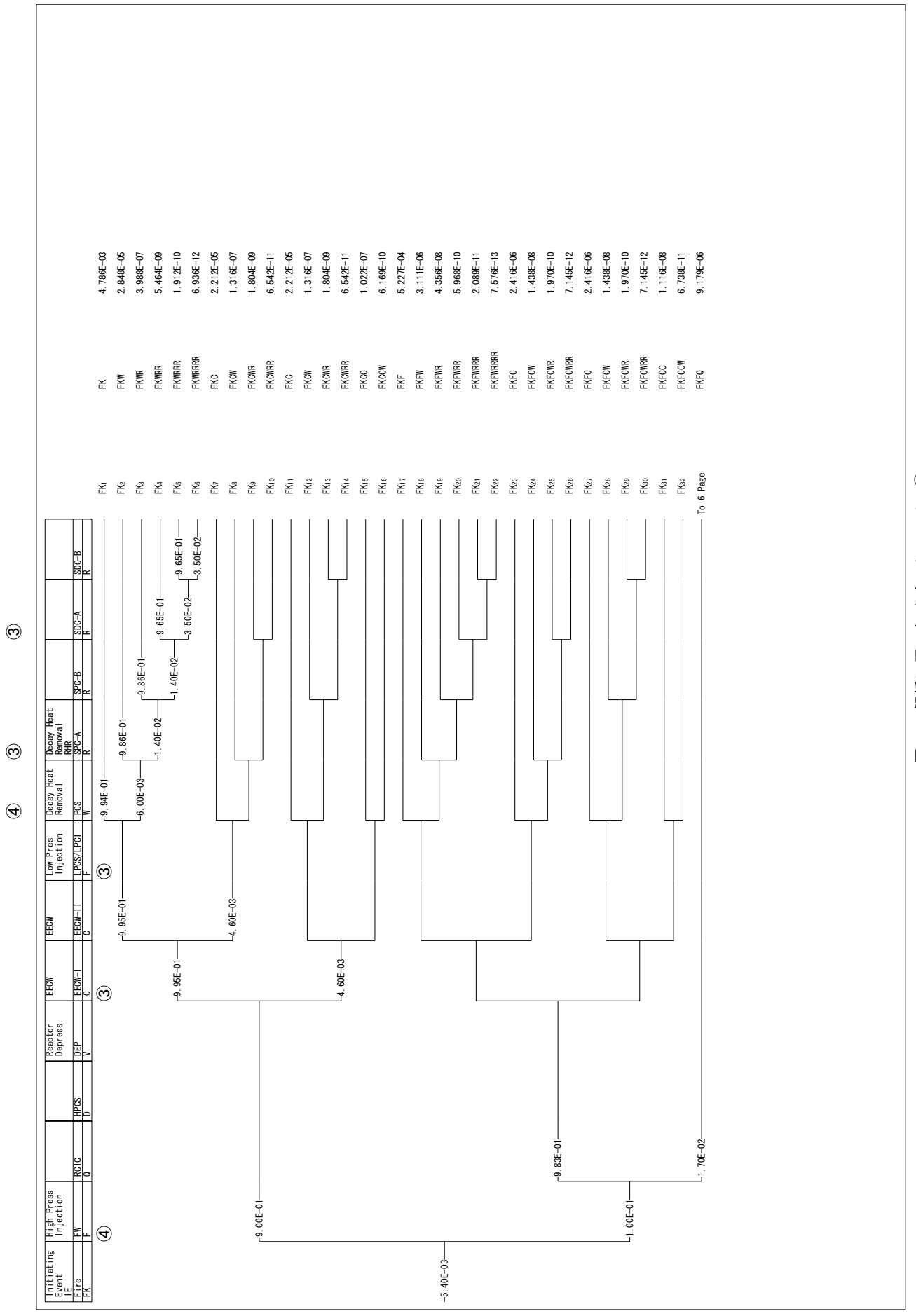
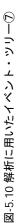
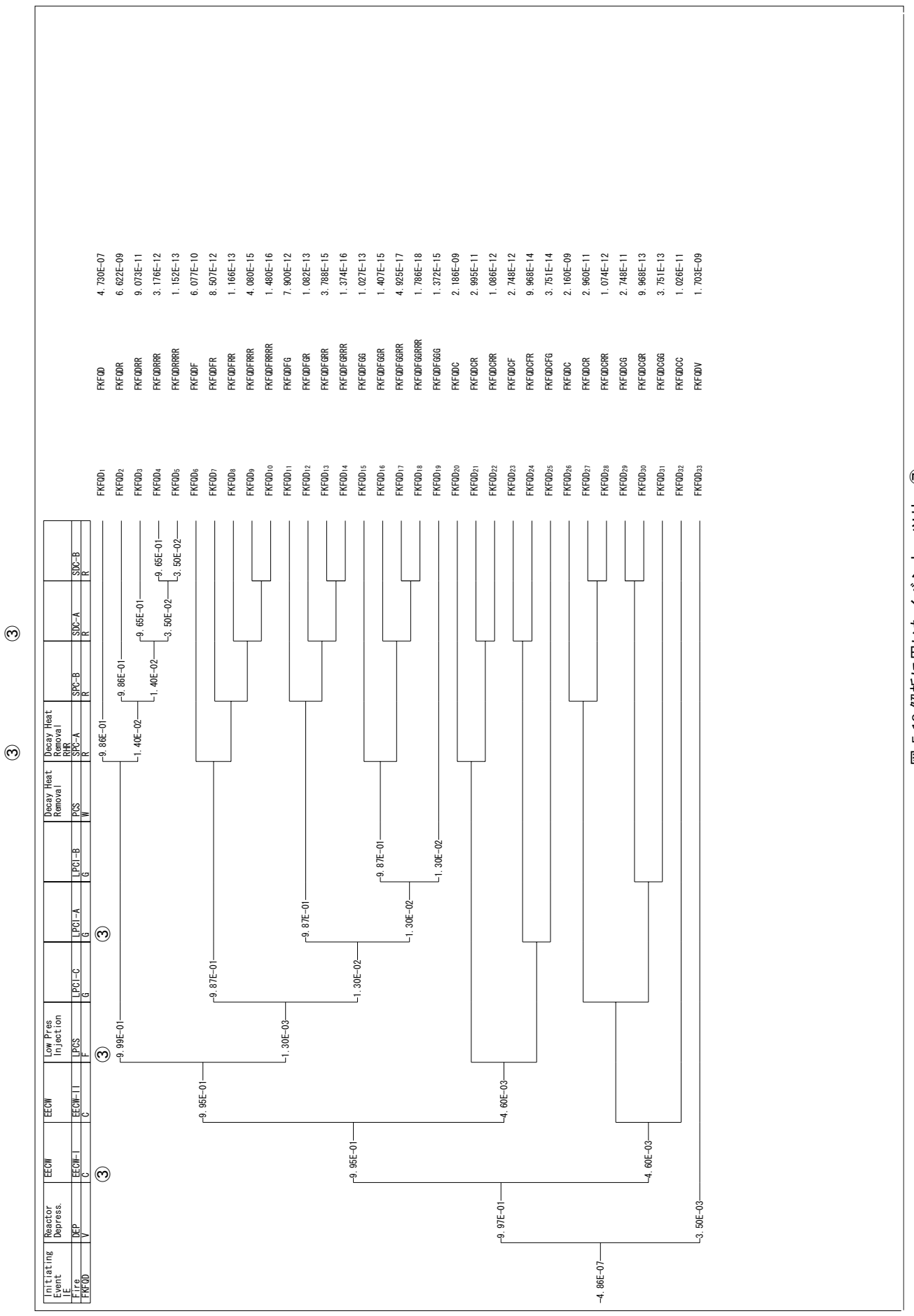
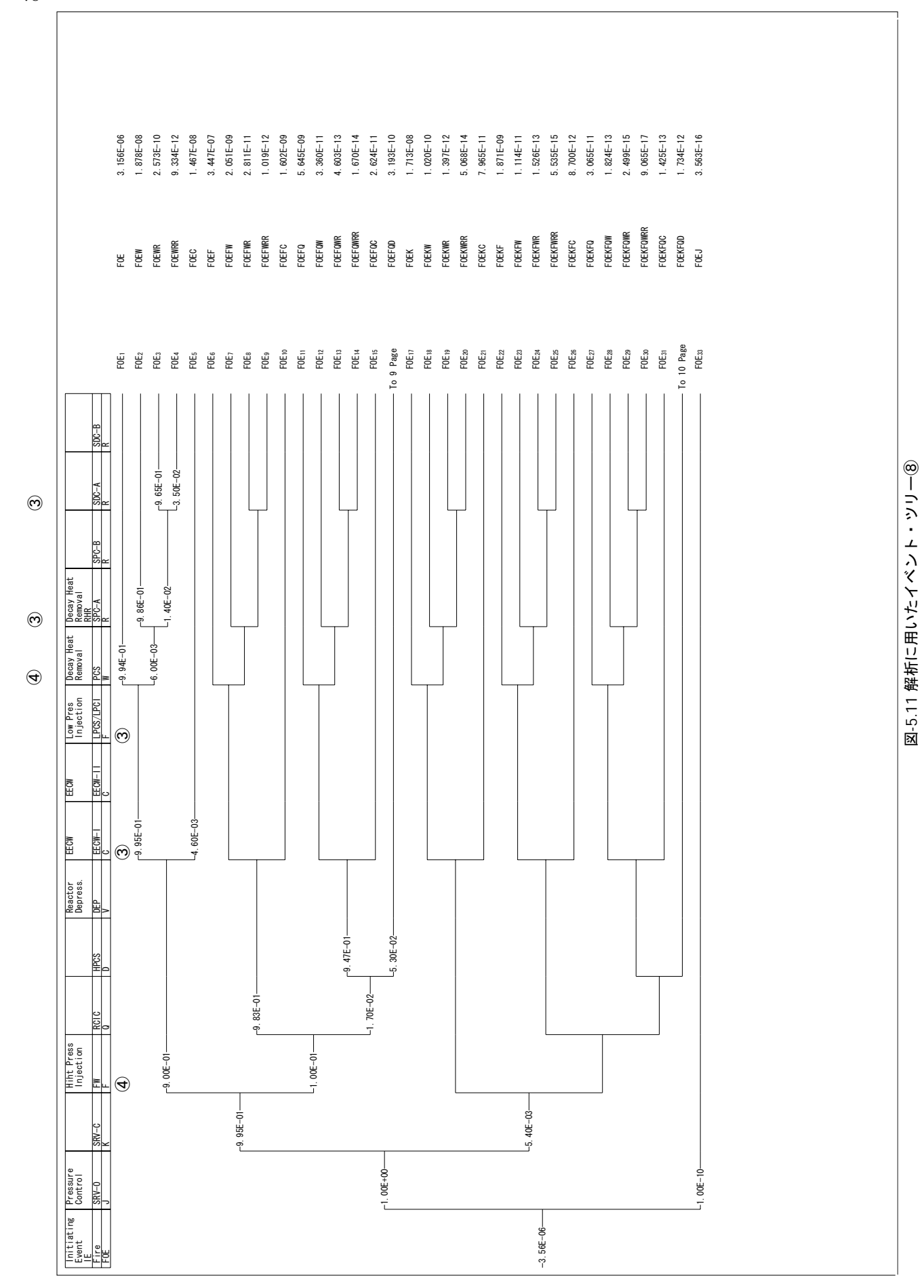


図-5.9 解析に用いたイベント・ツリー⑥



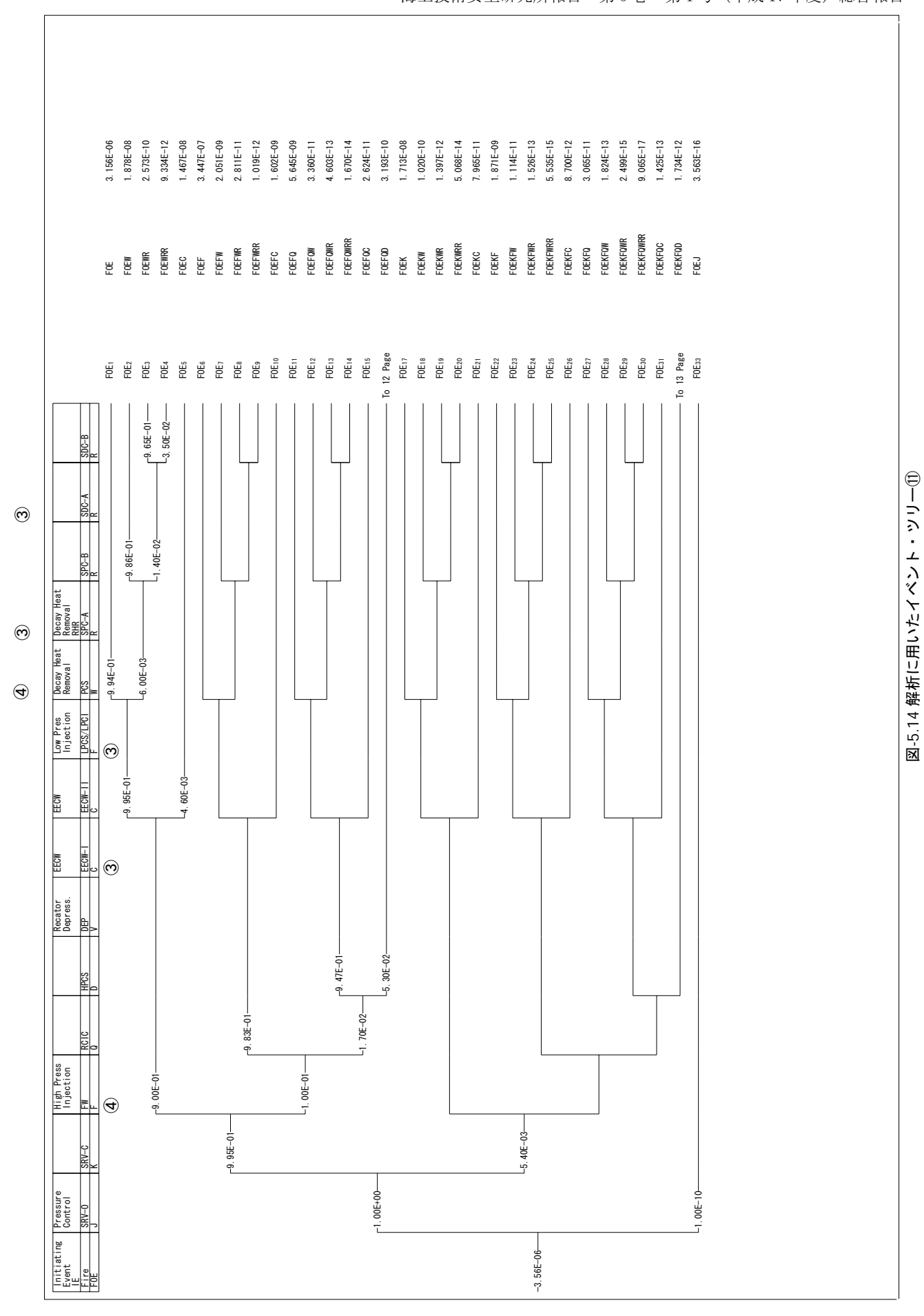




(78)

| | | | | | | 两上12个人主切力 | 舟 0 仓 | 舟 1 ク | (十八八) | (平)及) |
|---------------------------|--|--------------------------|------------|--------------------------|-----------|-----------|--------------|-------|-------|--------|
| | | | | | | | | | | |
| | | | | | | | | | | |
| 3.119E-10 | 4. 273E-12 1. 550E-13 | 3. 921E=13 1. 422E=14 | 5. 352E-15 | 1. 464E-12 1. 118E-12 | 71 | | | | | |
| FOEFOD | FOEFQDRR FOEFQDRR | FOEFODFR | FOEFQDFG | FOEF ODC FOEF ODV | TUETWAY | | | | | |
| FOEFOD | F0EFQD ₂ F0EFQD ₃ | FOEFQD5 | F0EFQD6 | FOEFQD7 FOEFQD8 | rocruss | | | | | |
| Initiating Reactor EECW | | -0 97F-01- | | L3. 50E-02 L3. 50E-02 | 23 50E-03 | | | | | |

図-5.13 解析に用いたイベント・シリー⑩



(81)

| Figure 1 Section ECP | | | | | | | |
|--|---|--------------------------|------------------|------------|------------------|--------------------------|------------|
| Earthorn E.O. E.O | | | | | | | |
| Section ECO | | | | | | | |
| Comparison Early Light Frame Light F | | | | | | | |
| Section Early Ea | | 3. 082E-10 4. 223E-12 | 1. 532E-13 | 3. 921E-12 | 1. 422E-13 | 5. 352E-14 1. 464E-12 | 1. 118E-12 |
| Section ECO ECO ECO ECO Injection In | | | | | | | |
| Superior ECOI ECOI Linestron ECOI ECOI Linestron ECOI | 2011 | FOEFODR | FOEFQDR | FOEFODG | FOEFODG | FOEFUDG | FOEFQDV |
| Section ECOH ECOH Linguistics ECOH Linguistics ECOH Linguistics ECOH Linguistics ECOH ECOH Linguistics ECOH | 4 | FQD ₂ | F0D ₃ | FQD4 | FQDs | H UD6 | FODS |
| Participar EEGH | | 1 1 | ı | - I | | | - I |
| Particle Control Con | | F9. 65E-(| | | | | |
| Participant | | | -02 | | | | |
| Page | r Heat | 9. 86E | L1. 40E | | | | |
| Societion ECM | | | | | | | |
| Begrees. Begree | | | | 7E-01 | |)E-02 | |
| Bepress | | | | F9. 87 | | L1. 30 | |
| Reactor W Bepress W Bepress W Bepress Begress Beg | | | | | 0E-02 | | |
| Mactor Depress. WEP (CM-1) (9.97E-01 (3.50E-03) | Pres ection S | | | | L _{1.3} | | |
| Reactor ECW Depress ECW | | 9 | 95F-01 | | | ROE 03 | 00E 03 |
| Reactor Depress. V V V V V V V V V V V V V V V V V V | | - | 6 | 5 | | | ŕ |
| 19E-10 | otor ress. | ") | | | 9. 97E-01 | | 3. 50E-03 |
| | Initiating Event IE Fire FoeFQD | | | | TĹ | -3. 19E-10 | <u>—</u> " |

| 1 | SPC-A SPC-B SDC-A SPC-B | Restrict State S | 1 10 10 10 10 10 10 10 | 1 | FOEKF001 FOEKF000 FOEKF002 FOEKF000R FOEKF004 FOEKF000R FOEKF0006 FOEKF0006 FOEKF0006 FOEKF0006 FOEKF0006 FOEKF0006 FOEKF0006 | | |
|--|--|--|--|--|---|--|--|
| Signe Foekfoo Foekfo | Single S | Restrict State S | 1 10 10 10 10 10 10 10 | 1 1 1 1 1 1 1 1 1 1 | FOEKF001 FOEKF000 FOEKF002 FOEKF000R FOEKF004 FOEKF000R FOEKF0006 FOEKF0006 FOEKF0006 FOEKF0006 FOEKF0006 FOEKF0006 FOEKF0006 | | |
| SIO-B FOEKFOD FOEKFO | 1.40E-02 20C-A 20C-B 2 | Restrict of | 1 10 1 10 10 10 10 10 | 1 1 1 1 1 1 1 1 1 1 | FOEKF001 FOEKF000 FOEKF002 FOEKF000R FOEKF004 FOEKF000R FOEKF0006 FOEKF0006 FOEKF0006 FOEKF0006 FOEKF0006 FOEKF0006 FOEKF0006 | | |
| SIDC-B FOEKTOD, | SPC-B SPC- | Removal Right Ri | 1001-A 1001-B 1000-A 1 | 1 1 1 1 1 1 1 1 1 1 | F0EKF001 F0EKF002 F0EKF004 F0EKF006 F0EKF006 F0EKF008 | | |
| 8.00CB | RHE SDC-A SDC-B SDC-B | Removal Remo | 1 | 1 10E-02 10E-04 10E-05 | | | |
| | Removal Sport Sp | Removal Remo | 1 | 1 1 1 1 1 1 1 1 1 1 | 3. 50E-01 | | |
| | 2 | Remova RHR RHR | (a) | 1:00 Helloval Hell | | | |

過去のデータから求めたグラフ・相関式を用いる方法もあるが $^{21,22)}$ 、ここでは Siu & Apostolakis $^{8)}$ のモデルを用いることとする。このモデルでは消火作業を図- $^{5.17}$ の様にまとめ、各状態間の遷移時間として推定値を与えている。今回の対象区画についてこのモデルを用いて計算した結果 10 を表- $^{5.5}$ に示す。

5.4 解析

5.4.1 解析条件

解析条件としては、今回の解析の目的が開発した コードの有効性の確認であることを踏まえ、以下の ように設定した。

- ・ 仮想的モデルプラントにおける出力運転時のレベル 1PSA。
- ・ 各種物性値等のデータは松岡らの報告書 ¹⁾、お よび軽水炉モデルプラント地震 PSA 報告書 ⁴⁾ を参考とする。
- ・ 外的起因事象は地震および地震による火災。
- ・ 火災の消火活動は考慮、これ以外の人的因子は 考慮しない。
- ・ 今回のサンプルプラント評価においては、その 目的を本研究で開発した解析コードの試計算と しているため解析結果についての議論をする必 要性はないと考える。
- ・ 地震加速度については SECOM-2 コードのデータにある各機器の耐力の中央値が最小のもので 650Gal 程度であることから、開発したコードの設定値の一つである約 1/2 の 330Gal とする。これにより、あまりに大きな地震加速度では地震そのものの影響による機器の損傷が起こり、解析対象として複雑になってしまうことを避けることができ、地震誘起による火災の損傷による評価のみを扱うことができる。

- 対象区画としては、スイッチ・ギア室、非常 用発電機室、海水熱交換機室、制御室とする。
- ・ 地震時機器損傷評価コードの評価方法として は最高温度と、対象物の中心部での評価を基 本とする。
- ・ 海水熱交換器室では、モーターの摺動部から 発火する。また、この発火確率は 1、つまり 故障の発生すなわち発火と考える。
- 非常用発電機室では、デイタンクと発電機の 間から燃料が漏れるような故障が発生すると 仮定する。この場合にも、故障の発生=発火と 仮定する。
- ・ 制御室では、地震により操作盤内に異物による接点不良が発生すると仮定する。これは、 故障の発生 10 回に対して 1 回の発火頻度と する。
- ・ スイッチ・ギア室は、地震により分電盤内に 異物による接点不良が発生すると仮定する。 これは、故障の発生 10 回に対して 1 回の発 火頻度とする。

各区画の発火対象機器およびその地震による機器の損傷に対する発火頻度をまとめたものを表-5.6に示す。

以上の仮定において、開発した解析コードを用い計算を行った。計算結果の例として非常用発電機室の火災進展例について図-5-18に示す。この

表-5.6 機器の損傷による発火頻度

| 火災区画 | 損傷機器 | 発火頻度 |
|----------|----------|------|
| スイッチ・ギア室 | 分電盤 | 0.1 |
| 非常用発電機室 | 発電機 | 1 |
| 海水熱交換器室 | RHRS ポンプ | 1 |
| 制御室 | 主制御盤 | 0.1 |

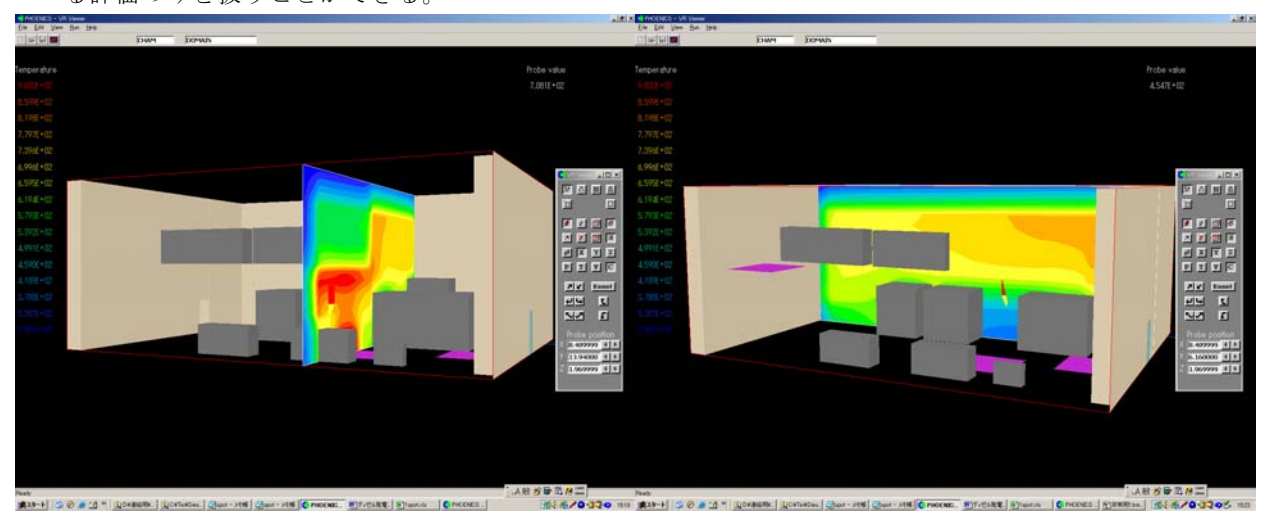


図-5.18 火災進展解析結果例

図は温度分布を示したものであり、区画の凡その温 度分布を知ることができる。特にこの温度分布の図 から、2階部分にあたる区画の温度上昇が認められ、 発火源のある区画から他の区画への熱の移動があっ たことがわかる。

事故シーケンス選定の際の打ち切り値としては NUREG-1150 の値 1x10⁻⁸/炉·年を目安とし、計算 した結果から、前述のイベント・ツリー上の分岐確 率を修正することにより事故シーケンスの発生確率 を求めた。打ち切り値としては今回の場合、

打ち切り値=1x10·8/(火災発生頻度x消火失敗確 率)

として各ケースの場合に適用した。各区画の解析結 果に対してイベント・ツリーを修正し、前述の打ち 切り値より小さいシーケンスを無視して事故シーケ ンスを整理、集計した。

5.4.2 解析結果

①スイッチ・ギア室

地震により分電盤に異物が混入しこれが原因とな り火災が発生する。この火災による分電盤内の温度 上昇の計算結果は、発火 5 分後には 400K 付近まで 温度が上昇し、その後は緩やかな温度上昇を示し30 分で 430K 程度となる。これは、4.4 火災実験 3 で 行った火災進展解析コードのための実験の場合と比 較すると、温度上昇幅は小さい(200K→150K)が 高温の持続時間は明らかに長い(温度上昇中→25 分)。この結果から検討すると、実験時の状況と比べ ケーブル近傍の温度は低いが 400K を超える高温で あり、この温度の持続時間は実験時と比べむしろ長 い。ケーブルが受けた熱量を単純に時間と温度の関 係で考えた場合には実験時以上のものと考えられ、 ケーブルは損傷していると判断すべきである。した がって、5分以降30分以内に分電盤内のケーブルは 損傷したとする。これにより、外部電源供給システ ムの機能が失われると評価されたため、図-5.5のイ ベント・ツリー中の Emergency Power Supply (非 常用電源)の成功分岐を削除、つまりへディング① の分岐確率を1へと変更して解析した。

②非常用発電機室

地震によりデイタンクと発電機の間から燃料が漏 れるような故障が発生、発火する。この場合には、 約30分で非常用発電機が設定した損傷温度に到達 する結果となった。この区画内における火災の場合 は、起因事象は"原子炉手動停止"となる1)。火災に より EGD (非常用発電機) 1 台の機能が失われ、イ ベント・ツリー中 EGD-I の成功分岐を削除。つまり、 ヘディング②の分岐確率を1へと変更して解析す る (図-5.5~17 中②のヘディング)。また、これを サポート系としている High Press Injection (高 圧注水設備), EECW(非常用機器冷却系)-I, LPCI (低圧注入設備) -C, SDC (停止時冷却モード) -A, SPC (サプレッションプール冷却モード) -A は、非常用発電機Iの機能が失われても外部電源 の存在により作動可能であるため修正は不要であ る。

③ 海水熱交換機室

地震により RHRS (残留熱除去系) ポンプ内の 摺動部に異物が混入し、ポンプ自体が高温となり 火災が発生する。この場合には、ポンプそのもの が高温となり約35分後に損傷温度(403K)にい たる。この区画内における火災の場合にも、起因 事象は"原子炉手動停止"となる。区画内にある2 台の RHRS ポンプがともに機能を失い、この結果 として EECW-I の機能喪失となる。これにより EGD-I(非常用発電機)も停止する。これらの2 つの機能停止の結果、それぞれをサポート系とし ている、SDC-A, SPC-A, LPCI-A, LPCS (低圧炉 心スプレー系)/LPCIの機能が失われる。イベン ト・ツリー中において、これらの成功分岐を削除 し (図-5.5~17中③)、計算を実施した。

④ 制御室

この区画においては、制御盤が何らかの意味で 火災により損傷した時、それに接続されている機 器類の機能がどの様な影響を受けるかが問題とな る。本解析では、松岡らの報告1)と同様に、以下 の様に考えた。

- ・ 制御盤が火災により損傷した場合でも、種々 の保護回路等があるため、この盤に接続した 現に稼動中の機器がすぐに停止、機能喪失す るとは考えられないので、そのまま機能を保 持する。
- 一方、待機中の機器の場合は起動するが、制 御盤に損傷が発生したときは起動不可能と判 断(別の場所にバックアップ用制御盤がある 場合、現場での起動が可能な場合等種々のケ ースが考えられる。特に、即座に対応する必 要のない系統、例えば崩壊熱除去系の様なも のは系統自体に故障が起きていないので、ほ ぼ 100%起動が可能と考えられる。本解析で は、これらの要素は除外して評価。)
- ・ 電気火災の場合は、制御盤そのものから発火 するため、発火直後から盤に影響があらわれ、 関係する系統は機能喪失を起こす。

・ 火災源の大小によらず盤全体に影響が及ぶ。

以上のような仮定を置き、今回は主制御盤内に地震により異物が混入し発火原因となるとする。この場合は通常運転に支障をきたす主制御盤での火災損傷であるが、まず問題となるのは原子炉停止である。制御棒駆動系はアキュムレータの水圧により制御棒駆動水圧系のピストンを動かす。通常時励磁のソレノイド弁の保持電源が喪失すると自動的に水圧が働きスクラムが行われる。また、制御棒駆動系に対しては別の制御盤も用意されている。それ故、主制御盤の火災による損傷時にも制御棒駆動系は働くと仮定する。但し、この盤の損傷のため給水・復水系(FW,W)は機能しないと仮定する。その他の非常用冷却系、ほう酸水注入系等は別パネルであるので作動可能であるとした。

発火後の温度は 400K にも至らなかったが、スイッチ・ギア室の場合と同様高い温度が持続したことにより制御盤内のケーブルが損傷する場合が考えられる。また 4.4 火災実験 3 で行った火災進展解析ードのための実験で得られた知見としての CPU の損傷も考えられる。これは制御盤内に CPU が存在した場合、メーカーの保障する安定した作動温度を超える場合や制御盤内部で炎に触れ CPU が損傷してしまうことが考えられる。以上の点から、この場合にも主制御盤が損傷すると考える。この結果を反映したイベント・ツリーを作成するために図-5.5~17中の④のヘディングの分岐確率を 1 に修正、成功分岐を取れないようにし、計算を行った。

以上の解析上の仮定の下にイベント・ツリーを用いた解析を行い、事故シーケンスの選定を行った。 この結果から次節で炉心損傷頻度の算出(今回の場合には1回の地震発生時の火災による炉心損傷確率 となる)を行う。

5.4.3 炉心損傷頻度の算出

以上の各節の評価結果をもとに炉心損傷頻度を 算出する。炉心損傷頻度 ϕ cm は次の式で表される 23 。

$$\Phi_{cm} = \sum_{i} \lambda_{i} \cdot (r_{L} \cdot r_{DL} \cdot (1 - P_{SL}) + r_{S} \cdot r_{DS} \cdot (1 - P_{SS})) \cdot P(IE/i) \cdot \sum_{j} P(F_{j}) \cdot P_{Rj}$$

$$\subset \subset \mathcal{C}$$

 λ_i : 区画 i 内での検討対象火災発生頻度 (/区画・年)

 $r_L \cdot r_s$: 発火源規模の大小(L, S)の割合 r_D : 機器の損傷をもたらす火災の割合

Ps: 火災の消火成功確率

P(IE/i):区画 i 内火災時における起因事象発生確率

 $P(F_j)$: 火災原因の起因事象における炉心損傷に至る シーケンスjの発生確率

 P_{Ri} : シーケンス i における回復操作失敗確率

を意味している。今回もこの式を用いて炉心損傷頻度を求めるが、今回の場合、発火源規模の大小の割合 (r_L, r_S) については規模が一種類のため無視できる。

起因事象の発生確率は、本解析では各区画の発 火条件を考慮した頻度となる。また、各事故シー ケンスにおける回復操作成功確率は考慮せず評価 することにした。

以上のことから、炉心損傷頻度を求めると表 -5.7 の様になる。今回の結果では、操作室の結果において打ち切り値の値がシーケンス総和より多 少大きな値となっているが、有効数字の関係等からこのシーケンスも評価の対象とした。また、非常用発電機室に関しては対象シーケンスは全て打

表-5.7 解析結果

| | | 1 0. | | | |
|----------|------|----------------|-----------|-----------|---------------------|
| 対象区画 | 対象機器 | 発火確率 (故障確率) | 打ち切り値 | シーケンス総和 | 1回の地震あたりの 炉心損傷確率 |
| スイッチ・ギア室 | 分電盤 | 4.00E-05 | 2.60E-04 | 1.20E-03 | 4.61E-08 |
| 非常用発電機室 | 発電機 | 1.47E-03 | 1.74 E-05 | 9.45 E-07 | 2.61E-17 |
| 海水熱交換器室 | RHRS | 3.24E-02 | 1.93E-06 | 4.10E-05 | 2.13E-07 |
| 操作室 | 主制御盤 | 4.13E-04 | 2.48E-05 | 2.07 E-05 | 8.35E-08 |

地震加速度 330 Gal

表-5.8 同時多発解析例

| | 発火確率 (故障確率) | 打ち切り値 | シーケンス総和 | 1回の地震あたりの 炉心損傷確率 |
|---------|----------------|----------|----------|---------------------|
| 操作室 | 4.13E-04 | 2.50E-05 | 5.07E-03 | 2.03E-05 |
| 海水熱交換器室 | 3.24 E-02 | | | |

地震加速度 330Gal

ち切り値以下となってしまった。そのため、参考と して、発生頻度上位 10 シーケンスの和を取り、表 中に示した。これらの場合、地震加速度が大となれ ばいずれも値は大きくなり、打ち切り値よりも大き な値となる。試計算という立場からこの結果につい ては評価できないが、解析ツールとしては有効であ ることがわかった。特に、今回開発した解析コード 以外にも、当研究所で開発したイベント・ツリー解 析ツールである MSET が有効であった。

これらの求めた炉心損傷頻度は点推定値であるの で、さらに不確実さ解析が必要となるが、今回のサ ンプルプラント評価の目的が前述したように開発コ ードの確認であるため、ここでは行わないこととす る。しかしながら、地震の発生頻度、地震による火 災発生頻度、火災消火確率、火災進展解析、ランダ ム故障によるシステム故障確率、火災障壁の損傷確 率、回復操作、これらいずれにも不確実さにともな う確率分布が考えられ、これらの積で与えられてい る火災による炉心損傷頻度には個々の不確実さに起 因する不確実さが存在している。その結果、炉心損 傷頻度も一般的には確率分布で表現されることとな ると考えられる。

5.5 同時多発火災への対応

これまでの結果から、1つの特定の機器が損傷し た場合の炉心損傷確率を求めることはできた。そこ で、同時多発火災、また大規模地震などの場合の多 数の機器が損傷した場合の例について検討する。こ の場合には、プラント全体で挙がった候補の発火場 所の全ての組み合わせについて開発したコードを用 いて解析を行い、その結果である損傷機器の情報か らイベント・ツリー解析を行うことにより対応し得 ると考えられる。

今回の解析において簡単な例を検討する。5.4 で 得られた結果を用いて、操作室と海水熱交換器室で 同時に対象機器が損傷した場合について検討する。 この場合には、5.4 で得られた結果からイベント・ ツリーを修正するだけで対応できる。つまり、両方 の結果を反映した分岐の整理を行い、対象シーケン スを整理すれば良い。具体的には図-5.5~17 中の、 ③と④のヘディングの分岐を整理した。その結果を 示したのが表-5.8である。この場合には、打ち切り 値の計算等には発生確率の低い操作室の値を用いて いる。また、消火成功確率としては両方が成功する 場合のみを想定することにより、安全性を評価する ためのより厳しい条件で解析を行った。その結果、 炉心損傷の確率としてはそれぞれの単独の場合より かなり大きな値となり、今回の目的は試計算ではあ るが、単純に比較したとしても同時多発火災のリス クの重要性が明らかになった。また、今回行った 手法により同時多発火災リスクの評価に対応でき る。

6. まとめ

本研究で行った地震誘起による火災のリスク評 価を行うための解析手法のまとめを本章において 行う。

6.1 得られた知見

本研究で得られた知見としては、次のものがあ げられる。

- ① プラント情報の収集については、解析実施の ため実プラントを訪問し必要な情報の収集 を行った。また、文献等からも情報収集を行 った。このような情報収集には、過去の経験 が役立ち、今後の新たなプラントを対象とし た解析を実施する際にも有効であると考え られる。
- 地震誘起火災リスク解析の手法については、 従来の手法を拡張し、機器の損傷を火災のみ の影響から、地震による機器の損傷、また地 震の影響による機器の発火、さらに発生した 火災による機器の損傷の評価を行う方法を 検討した。この手法により、地震誘起火災リ スクの解析は実施可能であると思われる。
- ③ 地震と火災発生、進展を統合した解析コード を開発した。2つの解析コードを共通のイン ターフェースとなるよう留意して開発した。 この共通のインターフェースによって、サン プルプラント評価の解析作業もスムーズに 行うことができ、その有効性が示された。
- ④ 地震時機器損傷評価コードについては、この 分野における経験が無いため、既存の日本原 子力研究所の開発した SECOM コードを利 用した。これにより、地震時の機器の損傷評 価の機能が開発でき、サンプルプラント評価 でも有効に活用できた。
- ⑤ 火災進展解析コードについては、汎用の流体 解析コードを用いることにより、従来のデー タシート形式から、視覚的な情報によりレイ アウト、計算結果を理解することができるも のが開発できた。また、サンプルプラント評 価でも有効に活用できた。
- ⑥ 火災進展解析コードの開発のための火災実 験では、実験と計算との比較、検討を行うこ とにより熱伝達係数等のパラメータの設定、 見直しができ、実験の有効性が認められた。

⑦ 同時多発の火災に対する解析方法としては、プラント全体で挙がった候補の発火場所について全ての組み合わせの検討を行うことにより対応し得ると考えられる。この際に開発したコードを有効に用いることができると考えられる。今回は、参考として2箇所の場合について検討したが、この結果からも解析方法としては問題がないと考えられ、開発した解析コードも有効であった。また、同時多発火災の検討の重要性を示す結果となった。

6.2 今後の検討課題

今後の検討課題として、主なものは以下のような ものである。

- ① 開発した火災進展解析コードについては、リスク評価に用いるためには計算時間が長く、改善の余地がある。
- ② 地震により損傷した機器が発火する場合、損傷と発 火の関係は依然として検討の余地があり、この関係 を正確に捉え、また定量化することが望ましい。
- ③ 火災進展解析コードの実験については、今回は プラントをスケールダウンしたモデルを用い たが、より実プラントに近い実験の実施が望ま しい。また、配備するケーブル等も実プラント と同じものが望ましい。
- ④ 解析作業を行う場合、各種機器の損傷確率等の データが十分に整備されてはいない。解析に必 要な各種データの整備が望まれる。
- ⑤ 火災リスク評価の観点から、消火作業の評価手 法は確立されていない。今回用いた消火作業も 幾つか提案されている手法の一つにすぎない。 消火作業の評価手法の確立が望まれる。

謝辞

本研究は、文部科学省国立機関原子力試験研究費により平成11年度より5年間に渡り行われたものである。

参考文献

- 松岡 猛他:火災リスク評価手法に関する検討 (I)~(Ⅱ)、運輸省船舶技術研究所成果報告書(受託研究報告書)、(1992,1993)
- 2) 松岡 猛:確率論的安全評価のためのシステム信頼性解析手法 GO-FLOW、(株) CRC 総合研究所 (1996年)
- 3) 三友 信夫他:確率論的安全評価における火災リスク評価手法(7)-COMPBRN を用いた壁面塗料の火災挙動(2)、日本原子力学会 1994 年秋の大会予稿集、B2 (1994)
- 4) 日本原子力研究所リスク評価解析研究室:軽水

- 炉モデルプラント地震 PSA 報告書、JAERI-RESEARCH 99-035 (1999)
- 5) 原子力安全研究協会:軽水炉発電所のあらま し 原子力安全研究協会 (1984)
- 6) NUREG/CR4586 SAND86-0300, User's Guide for a Personal Computer Based Nuclear Power Plant Fire Data Base (1988)
- 7) NUREG/CR-4566 ORNL/TM-1005, COMPBRN III- A Computer Code for Modeling Compartment Fires (1986)
- 8) Nathan Siu and George Apostlakis: A Methodology for Analyzing the Detection and Suppression of Fires in Nuclear Power Plant, Nuclear Science and Engineering, Vol.94 (1988) pp.213-226
- 9) NUREG-1150 Sever Accident Risks: An Assessment of Five U.S. Nuclear Power Plant (1989,1990)
- N.MITOMO etc.: Development of Fire Risk Assessment Method Caused by Earthquake
 (I), Proceedings of International Topical Meeting, PSAM-V (2000) pp.2105-2109
- 11) T. Oikawa, etc: Development of Systems Reliability Analysis Code SECOM-2 for Seismic PSA, Reliability Engineering and System Safety, Vol.62, No.3 (1998) pp.251-271
- 12) N.MITOMO etc: Development of Fire Risk Assessment Method Caused by Earthquake (II), Proceedings of International Topical Meeting PSAM-VI (2002)
- 13) 日本機会学会: 伝熱工学資料(改訂第 4 版)、 日本機会学会、1986 pp.322
- 14) N.MITOMO etc.: Development of Fire Risk Assessment Method Caused by Earthquake (III), Proceedings of International Topical Meeting, PSAM-VII (2004) pp.1239-1244
- 15) http://www.nucia.jp
- 16) 関西電力(株)神戸支店: 兵庫県南部地震 設備被害記録、1996
- 17) 社団法人 日本電気協会 原子力専門部会:原子力発電所の火災防護指針 JEAG 4607-1999 (1999)
- 18) Nuclear-Power-Plant Fire-Loss Data, EPRI
- 19) 渡辺 憲夫他:BWR における外部電源喪失起 因のイベントツリー解析 JAERI-M-89-025 (1989)
- 20) T. MASTUOKA etc.: Event Tree Analysis of Ship Collision Accident, Proceeding of PSA2002 (2002) pp.135-139
- 21) Severe Accident Risk Assessment Limerick Generating Station, Philadelphia Electric Company (1983)
- 22) NUREG/CR-5088 SAND88-0177, Fire Risk Scoping Study: Investigation of Nuclear Power Plant Fire Risk, Including Previously Unaddressed Issues (1989)
- 23) 松岡 猛他: 火災リスク評価手法に関する検討 (I)、 運輸省船舶技術研究所成果報告書(受 託研究報告書)、(1992) pp.47